

T.C.  
BALIKESİR ÜNİVERSİTESİ  
FEN BİLİMLERİ ENSTİTÜSÜ  
KİMYA ANABİLİM DALI

**HİDROKSİ KUMARİN KUATERNER AMONYUM TUZLARININ SENTEZİ  
VE KARAKTERİZASYONU**

**YÜKSEK LİSANS TEZİ**

**Mert Olgun KARATAŞ**

**Balıkesir, 2011**

T.C.  
BALIKESİR ÜNİVERSİTESİ  
FEN BİLİMLERİ ENSTİTÜSÜ  
KİMYA ANABİLİM DALI

**HİDROKSİ KUMARİN KUATERNER AMONYUM TUZLARININ SENTEZİ  
VE KARAKTERİZASYONU**

**YÜKSEK LİSANS TEZİ**

**Mert Olgun KARATAŞ**

**Tez Danışmanı: Prof. Dr. Ümit ÇAKIR  
Eş Danışman: Prof. Dr. Bülent ALICI**

**Sınav Tarihi: 26.07.2011**

**Jüri Üyeleri: Prof. Dr. Ümit ÇAKIR(BAÜ)**

**Doç. Dr. Fatih SATIL (BAÜ)**

**Yrd. Doç. Dr. İsmet BAŞARAN (BAÜ)**

**Enstitü Yönetim Kurulunun ..... tarih ..... sayılı oturumunun ....  
nolu kararı ile ..... Mezun olmuştur.**

**Balkesir, Temmuz-2011**

**Bu çalışma, Balıkesir Üniversitesi Rektörlüğü  
Bilimsel Araştırma Projeleri Birimi tarafından desteklenmiştir**

## **ÖZET**

# **HİDROKSİ KUMARİN KUATERNER AMONYUM TUZLARININ SENTEZİ VE KARAKTERİZASYONU**

**Mert Olgun KARATAŞ**

**Bahkesir Üniversitesi Fen Bilimleri Enstitüsü,**

**Kimya Anabilim Dalı**

**( Yüksek Lisans Tezi / Tez Danışmanı: Prof. Dr. Ümit ÇAKIR )**

**( Eş Danışman: Prof. Dr. Bülent ALICI )**

**Bahkesir, 2011**

Kumarin ( 2H-1-benzopiran-2-on ) bileşikleri birçok bitki hücresinde bulunmakta ve laboratuar ortamında sentezlenmektedir. Kumarin bileşikleri son yıllarda özellikle biyolojik aktivitelerinden dolayı ilgi ile çalışılmaktadır.

Birçok kuaterner amonyum tuzu antimikroiyal aktiviteleri nedeni ile temizlik malzemelerinde kullanılmaktadır.

Bu çalışmada yeni kumarin kuaterner amonyum tuzları sentezlenerek biyolojik aktiviteye sahip yeni tür bileşiklerin elde edilmesi amaçlanmıştır. Bunun yanı sıra suda çözünürlüğü zayıf olan kumarin bileşiklerinin iyonik türevleri hazırlanarak suda çözünebilen kumarin türevlerinin sentezi amaçlanmıştır.

Bu çalışmada öncelikle Pechmann kondenzasyonuna göre hidroksikumarinler ve bu bileşiklerin kuaterner amonyum tuzları türevleri sentezlenmiştir. Sentezlenen bileşikler hidroksi kumarin türevlerinin tersiyer aminler ile inert atmosferinde etkileştirilmesi ile elde edilmiştir. Sentezlenen bileşiklerin saflaştırılması için silikajel kolon kromatografisi ve kristallendirme teknikleri kullanılmıştır. Bu bileşiklerin yapıları  $^1\text{H-NMR}$ ,  $^{13}\text{C-NMR}$  ve FT-IR spektroskopik metodları ile karakterize edilmiştir.

Son olarak elde edilen yeni bileşiklerin *Escherichia coli*, *Staphylococcus aureus*, *Enterococcus faecalis*, *Pseudomonas aeruginosa* bakteri türleri ve *Candida albicans*, *Candida tropicalis* mantar türleri üzerindeki etkileri incelendi ve minimal inhibitör konsantrasyonları belirlendi.

**ANAHTAR SÖZCÜKLER:** kumarin / kumarin kuaterner amonyum tuzları / antimikroiyal aktivite / amonyum tuzları

## **ABSTRACT**

### **SYNTHESIS AND CHARACTERIZATION OF HYDROXY COUMARIN QUATERNARY AMMONIUM SALTS**

**Mert Olgun KARATAŞ**

**Balıkesir University, Institute of Science**

**Department of Chemistry**

**( MSc. Thesis / Supervisor : Prof. Dr. Ümit ÇAKIR )**

**( Co-Supervisor: Prof. Dr. Bülent ALICI )**

**Balıkesir – Türkiye, 2011**

Coumarin ( 2H-1-benzopyran-2-one ) compounds are found on many plant cells and also being synthesized on laboratory conditions. Coumarin compounds are being investigated with high interest because of their high biological activities.

Quaternary ammonium salts are being used on cleanliness materials, due to their antimicrobial activities,

In this study, we purposed synthesis of new coumarin quaternary ammonium salts which are have biological activity. Beside water solubility of coumarin compounds are low, it is aimed synthesis of ionic coumarin derivatives for improving their solubility in water.

In this study, firstly, we synthesized hydroxy coumarin derivatives by Pechmann condensation and secondly synthesized their quaternary ammonium salts by reaction of coumarin derivatives and tertiary amines under inert argon atmosphere. Silikagel column chromatography and crystallization techniques used for purification of synthesized compounds. FT-IR,  $^1\text{H-NMR}$ ,  $^{13}\text{C-NMR}$  spectroscopic methods used for characterization of synthesized compounds.

Finally, effect of synthesized compounds on *Escherichia coli*, *Staphylococcus aureus*, *Enterococcus faecalis*, *Pseudomonas aeruginosa* bacterium sorts and *Candida albicans*, *Candida tropicalis* fungus sorts investigated and minimal inhibitory concentration detected.

**KEY WORDS :** coumarin / coumarin quaternary ammonium salts / antimicrobial activity / ammonium salts

## **İÇİNDEKİLER**

	<b>Sayfa</b>
ÖZET, ANAHTAR SÖZCÜKLER	ii
ABSTRACT, KEY WORDS	iv
İÇİNDEKİLER	vi
SİMGELER VE KISALTMALAR	ix
ŞEKİL LİSTESİ	x
TABLO LİSTESİ	xii
ÖNSÖZ	xiii
<b>1.GİRİŞ</b>	<b>1</b>
1.1      Kumarinlerin Sınıflandırılması	3
1.1.1   Benzen Halkası Üzerinde Sübstitüent Taşıyan Kumarinler	4
1.1.1.1  Mono-sübstitüe Kumarinler	4
1.1.1.2  Di-sübstitüe Kumarinler	4
1.1.1.3  Tri-sübstitüe Kumarinler	5
1.1.2   Piron Halkası Üzerinde Sübstitüent Taşıyan Kumarinler	5
1.1.2.1  Mono-sübstitüe Kumarinler	5
1.1.2.2  Di-sübstitüe Kumarinler	6
1.1.3   Hem Benzen Hem Piron Halkası Üzerinde Sübstitüent Taşıyan Kumarinler	7
1.1.4   Benzen Halkasına Halkalı Yapıların Kondanse Olmasıyla Meydana Gelen Kumarinler	7
1.1.4.1  Furanokumarinler	7
1.1.4.2  Piranokumarinler	8
1.1.4.3  Benzokumarinler	9
1.1.5   Piron Halkasına Halkalı Yapıların Kondanse Olmasıyla Meydana Gelen Kumarinler	9
1.1.5.1  Beş Üyeli Halkaların Kondanse Olmasıyla Meydana Gelen Kumarinler	9
1.1.5.2  Altı Üyeli Halkaların Kondanse Olmasıyla Meydana Gelen Kumarinler	10
1.1.6   Dimer Kumarinler	10
1.2      Kumarin Türevlerinin Sentezi	11

1.2.1	Perkin Kumarin Sentezi	11
1.2.2	Pechmann-Duisberg Kumarin Sentezi	12
1.2.3	Knoevenagel Kondenzasyon Tepkimesi İle Kumarin Sentezi	13
1.2.4	o-hidroksiarilketonların Kostanecki Açılısyonu İle Kumarin Sentezi	13
1.2.5	Reformatsky Tepkimesi İle Kumarin Sentezi	14
1.2.6	Houben-Hoesch Tepkimesi İle Kumarin Sentezi	15
1.2.7	Wittig Tepkimesi İle Kumarin Sentezi	16
1.3	Kumarinlerin Kimyasal Özellikleri	16
1.4	Kumarin Türevlerinin Aktiviteleri	20
1.5	Kuaterner Amonyum Tuzları	26
1.6	Çalışmanın Amacı	29
<b>2</b>	<b>MATERYAL VE YÖNTEM</b>	30
2.1	Sentezi Gerçekleştirilen Bileşikler	31
2.1.1	1,2,4-Triasetilbenzen Sentezi	31
2.1.2	4-klorometil-6,7-dihidroksi-2H-kromen-2-on- ( 4-klorometil-6,7-dihidroksikumarin ) ( K1 ) Sentezi	31
2.1.3	4-klorometil-7,8-dihidroksi-2H-kromen-2-on- ( 4-klorometil-7,8-dihidroksikumarin ) ( K2 ) Sentezi	32
2.1.4	4-klorometil-7-hidroksi-2H-kromen-2-on- ( 4-klorometil-7-hidroksikumarin ) ( K3 ) Sentezi	32
2.1.5	<i>N</i> -4-klorometil-7-hidroksikumarinil- <i>N</i> -benzil- <i>N,N</i> -dimetilamonyum klorür ( T1 ) Sentezi	33
2.1.6	<i>N</i> -4-klorometil-6,7-dihidroksikumarinil- <i>N</i> -benzil- <i>N,N</i> -dimetilamonyum klorür ( T2 ) Sentezi	34
2.1.7	<i>N</i> -4-klormetil-7,8-dihidroksikumarinil- <i>N</i> -benzil- <i>N,N</i> -dimetilamonyum klorür ( T3 ) Sentezi	34
2.1.8	<i>N</i> -4-klorometil-7-hidroksikumarinil- <i>N</i> -izopropil- <i>N,N</i> -dimetilamonyum klorür ( T4 ) Sentezi	35
2.1.9	<i>N</i> -4-klorometil-6,7-dihidroksikumarinil- <i>N</i> -izopropil- <i>N,N</i> -dimetilamonyum klorür ( T5 ) Sentezi	36
2.2	Sentezlenen Bileşiklerin Antimikroiyal Aktiviteleri İçin Genel Prosedür	36
<b>3</b>	<b>BULGULAR</b>	37
3.1	K1 Bileşiğinin Spektroskopik Bulguları	37
3.2	K2 Bileşiğinin Spektroskopik Bulguları	39
3.3	K3 Bileşiğinin Spektroskopik Bulguları	42

3.4	T1 Bileşığının Spektroskopik Bulguları	43
3.5	T2 Bileşığının Spektroskopik Bulguları	46
3.6	T3 Bileşığının Spektroskopik Bulguları	48
3.7	T4 Bileşığının Spektroskopik Bulguları	50
3.8	T5 Bileşığının Spektroskopik Bulguları	52
3.9	Antimikrobiyal Sonuçlar	55
<b>4</b>	<b>SONUÇ VE TARTIŞMA</b>	<b>56</b>
<b>5</b>	<b>KAYNAKLAR</b>	<b>66</b>

## SİMGELER VE KISALTMALAR

<b>Simge</b>	<b>Adı</b>
NMR	Nükleer Manyetik Rezonans
FT-IR	Fourier Transform Infrared Spektroskopisi
Ph	Fenil
UV	Ultraviolet
°C	Santigrat Derece
FDA	Food and Drug Administration
NIOSH	National Institut For Occupational Safety and Health
DEPT	Distortion-less Enhancement By Polarization Transfer
DMF	<i>N,N</i> -dimetilformamid
DCM	Diklormetan
DMSO	Dimetilsülfoksit
THF	Tetrahidrofuran
TLC	İnce Tabaka Kromatografisi
o-	Orto
CFU	Koloni Oluşum Ünitesi
Ar	Aril

## ŞEKİL LİSTESİ

<b>Şekil No</b>	<b>Adı</b>	<b>Sayfa</b>
Şekil 1.1	Kumarin ve kromon bileşiklerinin temel yapı birimleri	1
Şekil 1.2	Kumarin için önerilen olası yapılar	2
Şekil 1.3	Bazı kumarin türevleri	2
Şekil 1.4	Mono-sübstitüe kumarinlere bazı örnekler	4
Şekil 1.5	6,7-disübstitüe kumarinlere bazı örnekler	4
Şekil 1.6	Tri-sübstitüe kumarinlere bazı örnekler	5
Şekil 1.7	Piron halkası mono-sübstitüe kumarinlere bazı örnekler	6
Şekil 1.8	Di-sübstitüe kumarinlere bazı örnekler	6
Şekil 1.9	Bazı di-sübstitüe kumarin türevleri	7
Şekil 1.10	Bazı furanokumarin örnekleri	8
Şekil 1.11	Piranokumarinlere bazı örnekler	8
Şekil 1.12	Benzokumarinlere bazı örnekler	9
Şekil 1.13	Piron halkasına beş üyeli halkaların kondanse olmasıyla oluşan kumarinlere bazı örnekler	10
Şekil 1.14	Aeterniyol	10
Şekil 1.15	Dimer kumarinlere bazı örnekler	11
Şekil 1.16	Warfarin	20
Şekil 1.17	4 konumunda klorometil içeren kumarinlerin genel gösterimi	21
Şekil 1.18	Kanser tedavisinde aktivite gösteren bazı kumarin türevleri	22
Şekil 1.19	Kumarin bileşığının metabolizması	23
Şekil 1.20	$Mg^{2+}$ analizi için kullanılan kumarin türevi	25
Şekil 1.21	Antimikroiyal aktiviteye sahip bazı kuaterner amonyum tuzları	27
Şekil 3.1	K1 bileşığının FT-IR spektrumu	37
Şekil 3.2	a ) K1 bileşığının 0-13 ppm aralığında $^1H$ -NMR spektrumu	38
	b ) K1 bileşığının 0-7 ppm aralığında $^1H$ -NMR spektrumu	38
Şekil 3.3	K1 bileşığının $^{13}C$ -NMR spektrumu	39
Şekil 3.4	K2 bileşığının FT-IR spektrumu	40

Şekil 3.5	K2 bileşiğinin $^1\text{H}$ -NMR spektrumu	40
Şekil 3.6	K2 bileşiğinin $^{13}\text{C}$ -NMR spektrumu	41
Şekil 3.7	K2 bileşiğinin DEPT spektrumu	41
Şekil 3.8	K3 bileşiğinin FT-IR spektrumu	42
Şekil 3.9	K3 bileşiğinin $^1\text{H}$ -NMR spektrumu	43
Şekil 3.10	T1 bileşiğinin FT-IR spektrumu	44
Şekil 3.11	T1 bileşiğinin $^1\text{H}$ -NMR spektrumu	44
Şekil 3.12	a) T1 bileşiğinin 0-180 ppm aralığında $^{13}\text{C}$ -NMR spektrumu b) T1 bileşiğinin 110-180 ppm aralığında $^{13}\text{C}$ -NMR spektrumu	45
Şekil 3.13	T2 bileşiğinin FT-IR spektrumu	46
Şekil 3.14	T2 bileşiğinin $^1\text{H}$ -NMR spektrumu	47
Şekil 3.15	T2 bileşiğinin $^{13}\text{C}$ -NMR spektrumu	47
Şekil 3.16	T3 bileşiğinin FT-IR spektrumu	48
Şekil 3.17	T3 bileşiğinin $^1\text{H}$ -NMR spektrumu	49
Şekil 3.18	T3 bileşiğinin $^{13}\text{C}$ -NMR spektrumu	49
Şekil 3.19	T4 bileşiğinin FT-IR spektrumu	50
Şekil 3.20	T4 bileşiğinin $^1\text{H}$ -NMR spektrumu	51
Şekil 3.21	T4 bileşiğinin $^{13}\text{C}$ -NMR spektrumu	51
Şekil 3.22	T5 bileşiğinin FT-IR spektrumu	52
Şekil 3.23	T5 bileşiğinin $^1\text{H}$ -NMR spektrumu	53
Şekil 3.24	T5 bileşiğinin $^{13}\text{C}$ -NMR spektrumu	54

## **TABLO LİSTESİ**

<b>Tablo No Adı</b>	<b>Sayfa</b>
Tablo 1.1 Bazı doğal kaynaklarda bulunan kumarin konsantrasyonu	3
Tablo 3.1 Sentezlenen bileşiklerin anitimikrobiyal aktivite sonuçları	55
Tablo 4.1 Hidroksikumarin bileşiklerine ait spektroskopik veriler	63
Tablo 4.2 T1, T2, T3 bileşiklerine ait spektroskopik veriler	64
Tablo 4.3 T4, T5 bileşiklerine ait spektroskopik veriler	65

## ÖNSÖZ

Bu tez çalışmasının planlanması ve yürütülmesi aşamasında destek ve yardımlarını esirgemeyen danışman hocam Prof. Dr. Ümit ÇAKIR'a şükranlarımı sunarım.

İnönü Üniversitesi'nde sürdürdüğüm çalışmalarım sırasında büyük yardımlarını gördüğüm, bilgi ve tecrübelerini benden esirgemeyen eş danışman hocam Prof. Dr. Bülent ALICI'ya şükranlarımı sunarım.

İnönü Üniversitesi'nde yardımlarını benden esirgemeyen hocam Prof. Dr. İsmail ÖZDEMİR'e teşekkürlerimi sunarım.

Tez çalışmalarımın her aşamasında desteklerini gördüğüm Arş. Gör. Sümeyya ALATAŞ'a, doktora öğrencisi Şeref KARADENİZ'e, Arş. Gör. Sezen KURŞUN'a teşekkürlerimi sunarım.

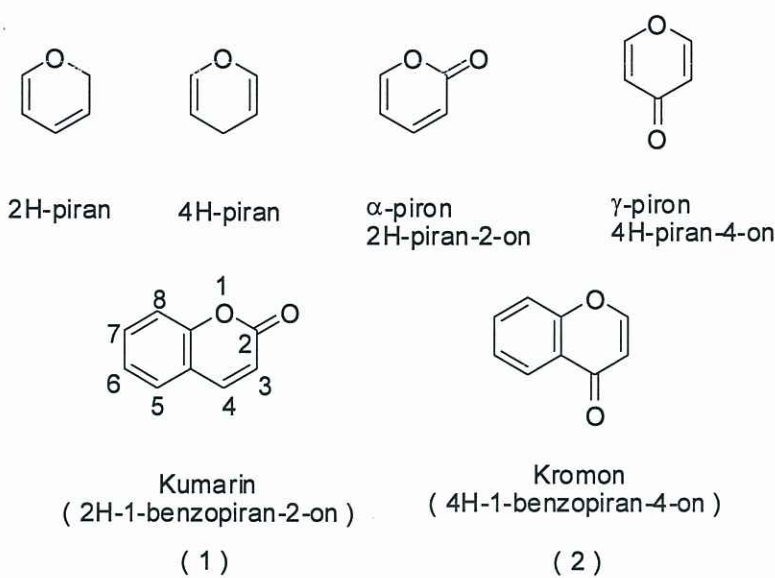
Biyolojik analizlerin yapılmasındaki desteklerinden dolayı doktora öğrencisi Nazan TEMELLİ'ye ve Arş. Gör. Serkan DAYAN'a teşekkürlerimi sunarım.

Beni bugünlere getiren ve manevi desteğini hiçbir zaman esirgemeyen aileme sonsuz teşekkürlerimi sunarım.

Ayrıca, bu çalışmayı 2009/03 YL nolu proje ile destekleyen Balıkesir Üniversitesi Rektörlüğü Bilimsel Araştırma Projeleri Birimi'ne teşekkürlerimi sunarım.

## 1. GİRİŞ

Piron halkasının benzen halkası ile kondenzasyon tepkimesi sonucu meydana gelen ve benzopiron olarak bilinen heterosiklik bileşikler iki ana gruba ayrırlırlar. Şekil 1.1'de görüldüğü gibi bunlardan birincisi benzo- $\alpha$ -piron ( 2H-1-benzopiran-2-on ) bileşikleri ( 1 ), diğeri benzo- $\gamma$ -piron ( 4H-1- benzopiran-2-on ) bileşikleridir ( 2 ). Bu bileşikler piran halkasında karbonil grubu bulundururlar ve karbonil grubunun konumuna göre farklılık gösterirler. Piron halkasının  $\alpha$ -pozisyonunda karbonil grubu bulunduran benzopiron bileşikleri *kumarin* ( *coumarin* ), piron halkasının  $\gamma$ -pozisyonunda karbonil grubu bulunduran bileşikler ise *kromon* ( *chromone* ) olarak adlandırılırlar [1].

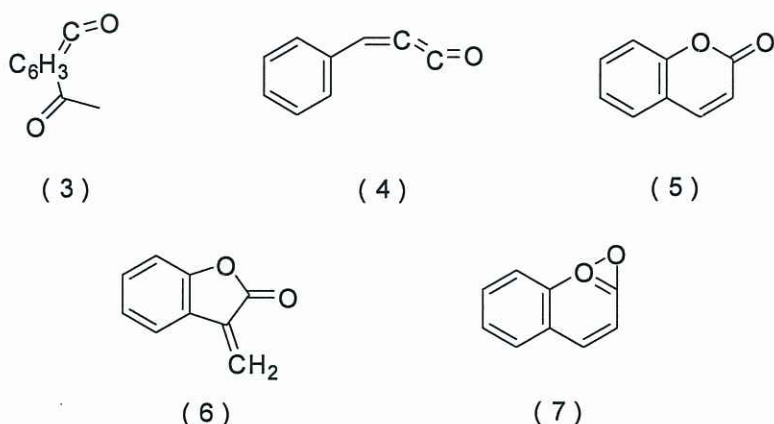


Şekil 1.1 Kumarin ve kromon bileşiklerinin temel yapı bileşenleri

Kumarin serbest halde ilk defa 1820 yılında Vogel tarafından *tonka baklaşı* adı verilen ve Güney Amerika'da yetişen fabaceae familyasından *Dipteryx odorata* ( *Coumarouna odorata* ) isimli ağacın kurutulmuş tohumlarından izole edilmiş ve bitkinin cins adından esinlenerek *coumarin* adı verilmiştir [1].

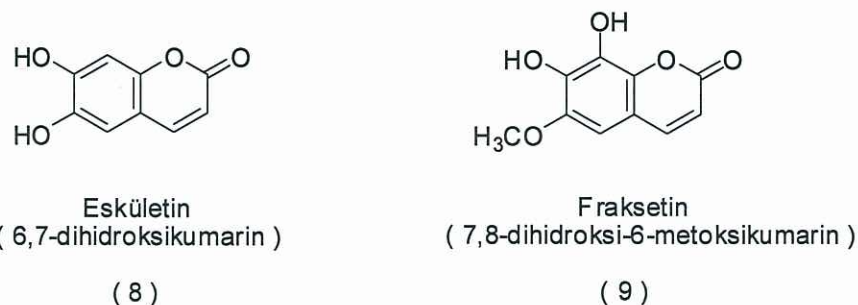
Kumarin bileşiginin yapısının aydınlatılması sırasında bazı bilim adamlarınca Şekil 1.2' de verilen farklı yapılar önerilmiştir. Bu yapılar Perkin (1868) ( 3 ),

Basecke (1870) ( 4 ), Strecker (1867) ( 5 ), Fitting (1868) ( 6 ), Tiemann (1877), Salkowski (1877), Morgan ve Mickletwait (1906) ve Clayton (1906) ( 7 ) tarafından önerilen yapılardır ve kumarin ve türevlerinin o dönem bilinen tüm tepkimeleri ile uyum göstermektedir [1].



**Şekil 1.2** Kumarin için önerilen olası yapılar

Kumarin bileşiginin kimyasal sentezi ilk olarak Perkin tarafından 1868 yılında gerçekleştirilmiştir. Kumarin bileşiginin yapısı Strecker (1867) ve Fitting (1870) tarafından tam olarak aydınlatılmıştır [1]. Bugüne kadar 1000'in üzerinde kumarin türevi tanımlanmıştır [2]. Örneğin Şekil 1.3' de görülen eskületin ( 6,7-dihidroksi kumarin ) ( 8 ) ve fraksetin ( 7,8-dihidroksi-6-metoksi kumarin ) ( 9 ) gibi doğal bileşikler bazı bitkilerin çiçeklerinde serbest halde veya glikozidleri halinde bulunurlar. Tablo 1.1' de bazı doğal maddelerdeki kumarin miktarları verilmiştir [3].



### Şekil 1.3 Bazı kumarin türevleri

**Tablo 1.1** Bazı doğal kaynaklarda bulunan kumarin konsantrasyonu

Kaynak	Miktar ( ppm )
Çin tarçını yaprağı yağı	17,000-87,300
Tarçın yaprağı yağı	40,600
Tarçın kabuğu yağı	7000
Diğer tarçın türleri	900
Nane yağı	20
Yeşil çay	0,2-1,7
Yaban mersini	0,0005

Kapali formülü  $C_9H_6O_2$  olan kumarin bileşiginin molekül ağırlığı 146.15 g/mol olup parlak, beyaz kristal yapılı bir bileşiktir. Erime noktası 68-70 °C'dir. Etanol, kloroform, dietileter ve yağlarda kolayca çözünürken kaynar suda az, oda sıcaklığındaki suda ise çok az miktarda çözünür [4].

### 1.1 Kumarinlerin Sınıflandırılması

Kumarin türevleri başlica 6 ana sınıfta toplanabilir.

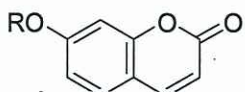
- 1- Benzen halkası üzerinde sübstitüent taşıyan kumarinler
- 2- Piron halkası üzerinde sübstitüent taşıyan kumarinler
- 3- Hem benzen halkası hemde piron halkası üzerinde sübstitüent taşıyan kumarinler
- 4- Benzen halkasına halkalı yapıların kondense olmasıyla meydana gelen kumarinler
- 5- Piron halkasına halkalı yapıların kondense olmasıyla meydana gelen kumarinler
- 6- Dimer kumarinler

### **1.1.1 Benzen Halkası Üzerinde Sübstüent Taşıyan Kumarinler**

Kumarinlerin benzen halkasına farklı sübstüentlerin farklı sayılarda bağlanmasıyla mono-, di- ve tri- sübstitüe kumarinler meydana gelir

#### **1.1.1.1 Mono-sübstitüe Kumarinler**

Bu tür kumarinlere örnek olarak Şekil 1.4' de görülmekte olan umbelliferon ( 10 ) ve herniarin ( 11 ) verilebilir [5,7].



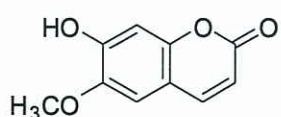
R : H : 7-hidroksikumarin ( umbelliferon ) ( 10 )

R : CH<sub>3</sub> : 7-metoksikumarin ( herniarin ) ( 11 )

**Şekil 1.4** Mono-sübstitüe kumarinlere bazı örnekler

#### **1.1.1.2 Di-sübstitüe Kumarinler**

Benzen halkası üzerinde 2 tane sübstüent taşıyan kumarinlerdir. Şekil 1.5' de görülen skoleptin ( 12 ) bu tür bileşiklere örnek olarak verilebilir [5,7].



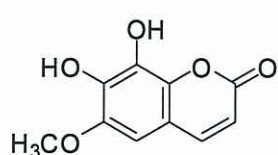
7-hidroksi-6-metoksikumarin  
( skoleptin )

( 12 )

**Şekil 1.5** 6,7-disübstitüe kumarinlere bir örnek

#### 1.1.1.3 Tri-sübstütüe Kumarinler

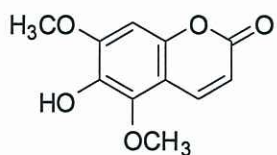
Çoğunlukla bitkilerden elde edilen bu tür kumarinlerden fraksetin ilk olarak *Fraxinus excelsior* bitkisinden izole edilmiştir. Şekil 1.6'da fraksetin ( 9 ) ve 5,7-dimetoksi-6-hidroksikumarin ( 13 ) bileşikleri görülmektedir [5,7].



## Fraksetin

( 7,8-dihidroksi-6-metoksikumarin )

(9)



## 5,7-dimetoksi-6-hidroksikumarin

( 13 )

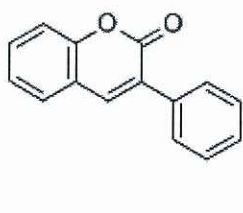
**Şekil 1.6** Tri-sübstítüe kumarinlere bazı örnekler

### **1.1.2 Piron Halkası Üzerinde Sübstítüe Taşıyan Kumarinler**

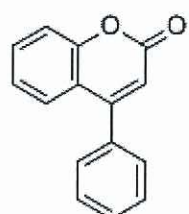
Piron halkasının Şekil 1.1 bileşik ( 1 )’de gösterilen 3 veya 4 numaralı karbon atomlarına hidroksil, aromatik veya alifatik gruplarının bağlanmasıyla meydana gelen kumarinlerdir. Özellikle 3 veya 4 numaralı karbon atomlarında fenil grubu içeren kumarinlerin bitki bünyesinde sentezlendikleri ve bunların antioksidan özellik gösterdikleri bilinmektedir. 3 ve 4 numaralı karbon atomlarına bağlı gruplara göre mono- ve di- sübstitüe kumarinler meydana gelmektedir [6,7].

### 1.1.2.1 Mono-sübstitüe Kumarinler

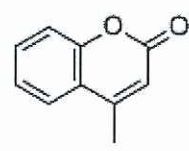
Bu tür kumarinlerin en önemli grubu Şekil 1.7'de gösterilen fenil grubu taşıyan kumarin türevleridir ( 14-16 ).



3-fenilkumarin  
( 14 )



4-fenilkumarin  
( 15 )

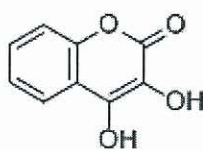


4-metilkumarin  
( 16 )

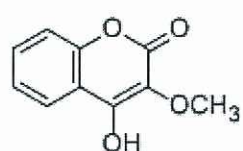
**Şekil 1.7** Piron halkası mono-sübstitüe kumarinler

### 1.1.2.2 Di-sübstitüe Kumarinler

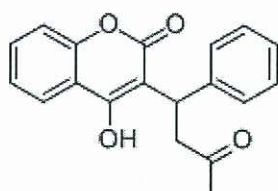
Şekil 1.8'de bu tür kumarin bileşiklerine ait bazı örnekler verilmiştir ( 17-20 ).



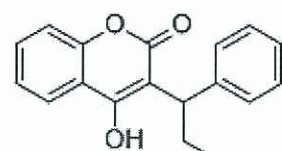
3,4-hidroksikumarin  
( 17 )



3-metoksi-4-hidroksikumarin  
( 18 )



Warfarin  
( 19 )



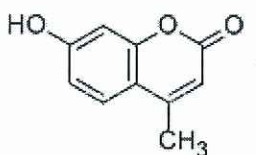
Fenprokumon  
( 20 )

**Şekil 1.8** Bazı di-sübstitüe kumarinlere örnekler

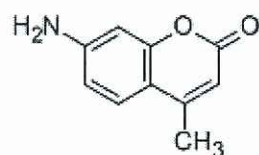
Sentetik bir bileşik olan warfarin ( 19 ) eczacılıkta antikoagülant olarak kullanılmaktadır [6,7].

### 1.1.3 Hem Benzen Hem Piron Halkası Üzerinde Sübstituent Taşıyan Kumarinler

Bu sınıfı giren 4-metilumbelliferon ( 21 ) su kaynaklarında bakteriyel kirlenmenin belirlenmesi için uygulanan testlerde fluoresans sinyal oluşturulması amacıyla kullanılır. Yine bu sınıfı giren 7-amino-4-metilkumarin ( 22 ) peptid türevleri, proteaz enziminin araştırılmasında yaygın olarak kullanılmaktadır [6]. Şekil 1.9' da bu iki bileşiğin açık yapıları gösterilmektedir.



4-metilumbelliferon  
(4-metil-7-hidroksi kumarin)  
( 21 )



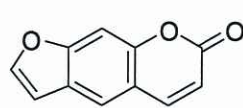
7-amino-4-metil kumarin  
( 22 )

Şekil 1.9 Bazı di-sübstitüe kumarin türevleri

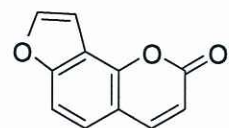
### 1.1.4 Benzen Halkasına Halkalı Yapıların Kondense Olmasıyla Meydana Gelen Kumarinler

#### 1.1.4.1 Furanokumarinler

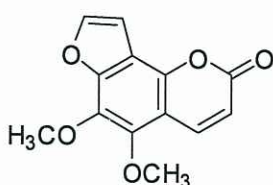
Bu bileşikler kumarinin benzen halkasına beş üyeli furan halkasının kondanse olmasıyla oluşur. Bu grubun birçok üyesi lineer furanokumarin pisoralenin ( 23 ) veya onun daha kararlı açısal izomeri anjelisinin ( 24 ) türevleridir. Lineer izomerde furan halkası ile benzen halkası aynı düzlemede bulunur. Açısal izomerde ise furan halkası ile benzen halkası farklı düzlemlerde bulunur [6]. Şekil 1.10' da bu tür kumarinlere bazı örnekler verilmiştir ( 23-27 ).



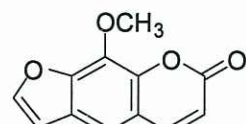
Psoralen  
( 23 )



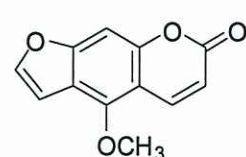
Anjelisin  
( 24 )



Pimpinellin  
( 25 )



Ksantotoksin  
( 26 )

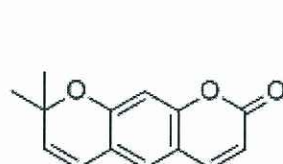


Bergapten  
( 27 )

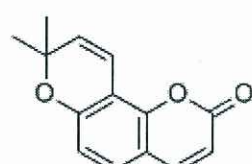
**Şekil 1.10** Bazı furanokumarin örnekleri

#### 1.1.4.2 Piranokumarinler

Kumarinin benzen halkasına bir piron halkasının kondense olması ile piranokumarinler ( 28, 29 ) meydana gelir. Bu grup üyelerinin de furanokumarinlerde olduğu gibi lineer ve açısal yapıları vardır. Şekil 1.11' de bazı piranokumarin örnekleri gösterilmektedir.



Ksantiletin  
( 28 )

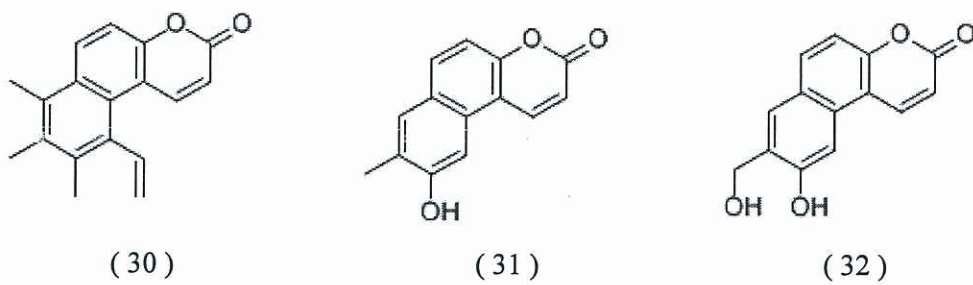


Seselin  
( 29 )

**Şekil 1.11** Piranokumarinlere bazı örnekler

### 1.1.4.3 Benzokumarinler

*Juncus acutus* rizomlarından etilasetat ile ekstrakte edilen bazı benzokumarinlerin antifungal özellikleri bir mantar türü olan yeşil algler üzerinde araştırılmış ve yüksek inhibitör etki gösterdikleri görülmüştür [8]. Bunun yanında bazı polisiklik kumarin türevlerinin kanser tedavisinde etkileri araştırılmaktadır [9]. Şekil 1.12' de bazı benzokumarin türevleri gösterilmektedir ( 30-32 ).



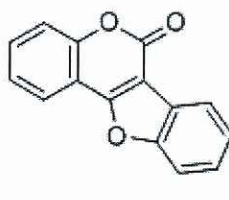
**Şekil 1.12** Benzokumarinlere bazı örnekler

### 1.1.5 Piron Halkasına Halkalı Yapıların Kondense Olmasıyla Meydana Gelen Kumarinler

Şekil 1.1 bileşik ( 1 )’de gösterilen kumarin bileşığının 3 ve 4 karbon atomlarına halkalı yapıların kondense olmasıyla meydana gelen kumarinlerdir.

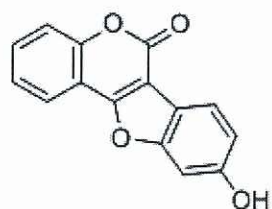
#### 1.1.5.1 Beş Üyeli Halkaların Kondense Olmasıyla Meydana Gelen Kumarinler

Şekil 1.13’de bu tür kumarin bileşiklerinin en çok bilinen üyeleri olan kumestan ( 33 ) ve kumesterol ( 34 ) bileşiklerinin açık yapıları gösterilmektedir.



Kumestan

( 33 )



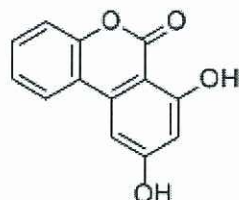
Kumestrol

( 34 )

**Şekil 1.13** Piron halkasına 5 üyesi halkaların kondense olmasıyla oluşan kumarinlere bazı örnekler

### 1.1.5.2 Altı Üyeli Halkaların Kondensasyonu Sonucu Meydana Gelen Kumarinler

Bu tür kumarin türevlerine Şekil 1.14' de açık yapısı gösterilen aeterniyol ( 35 ) verilebilir.

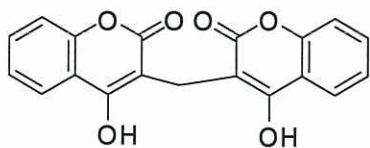


( 35 )

**Şekil 1.14** Aeterniyol

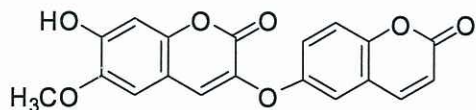
### 1.1.6 Dimer Kumarinler

İki kumarinin piron halkalarının 3 pozisyonundaki karbon atomlarının birleşmesi ile farklı yapıdaki kumarin türevleri meydana gelir. Dimer kumarinlere Şekil 1.15'de açık yapıları gösterilen bishidroksikumarin ( dikumarol ) ( 36 ), dafnoretin ( 37 ) ve demetildafnoretin ( 38 ) örnek olarak verilebilir [10].



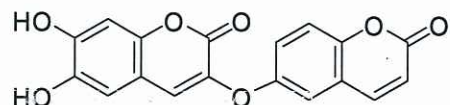
Bishidroksikumarin ( Dikumarol )

( 36 )



Dafronetin

( 37 )



Demetildafronetin

( 38 )

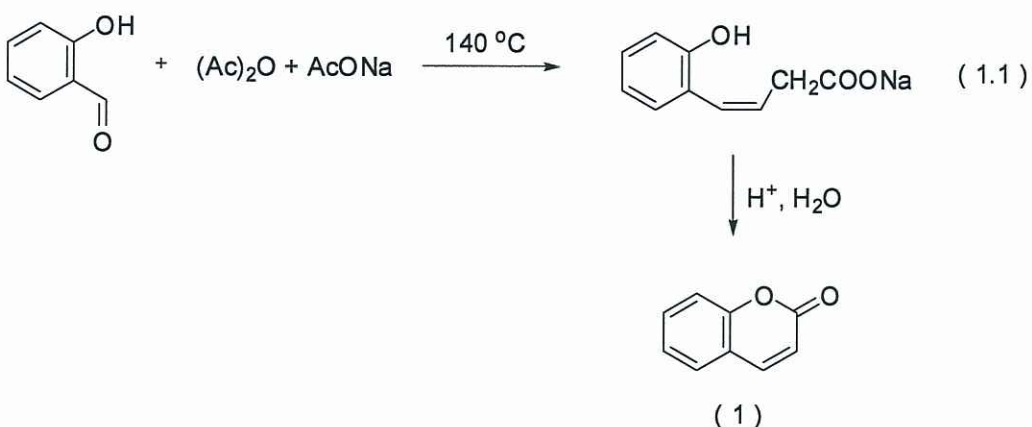
**Şekil 1.15** Dimer kumarinlere bazı örnekler

## 1.2 Kumarin Türevlerinin Sentezi

Doğal kumarinler genelde bitki hücrelerinde bulunan hidroksi veya metoksi kumarinlerdir. Bu kumarin türevleri laboratuar ortamında da sentezlenebilmektedir. Kumarin türevlerinin sentezi için çok fazla metod bulunmaktadır. Burada en çok bilinen ve kullanılan metodlar üzerinde durulacaktır.

### 1.2.1 Perkin Kumarin Sentezi

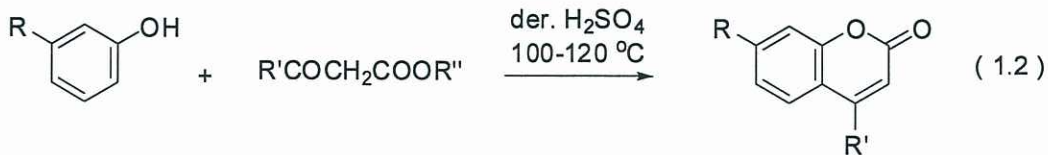
Kumarinin ilk kimyasal sentezi 1868 yılında Perkin tarafından gerçekleştirılmıştır. Perkin salisilikaldehit asetikanhidrit ve kuru sodyumasetat ile ısıtarak kumarin sentezini gerçekleştirmiştir ( 1.1 ) [1,11].



Bu tepkimede ara ürün olarak sinnamik asit türevi oluşur ve daha sonra lakton halkası oluşacak şekilde kondensasyon gerçekleşir [1].

### 1.2.2 Pechmann-Duisberg Kumarin Sentezi

İlk olarak Pechmann tarafından fenollerin malonik asit ile derişik sülfürik asit varlığında ısıtımasıyla kumarin elde edilmiştir ancak bu metodla sübstitüe fenollerin tepkimeleri oldukça sınırlıdır. Daha sonra Pechmann ve Duisberg tarafından Pechmann-Duisberg tepkimesi olarak bilinen tepkime geliştirilmiştir [1]. Bu tepkimede sübstitüe fenoller dahil fenol türevleri  $\beta$ -ketonik esterlerle derişik sülfürik asit varlığında ısıtılarak sübstitüe kumarinler sentezlenmiştir ( 1.2 ) [1]. Bu metod birçok sübstitüe kumarinin sentezlenmesinde yaygın olarak kullanılmaktadır [1]. Bazı kumarinlerin sentezinde sülfürik asit yerine  $\text{AlCl}_3$ ,  $\text{CF}_3\text{COOH}$  ve  $\text{POCl}_3$  kullanılmaktadır.

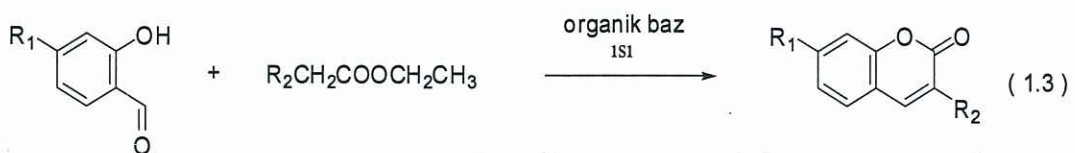


$\text{R} : \text{OH}$        $\text{R}' : \text{CH}_2\text{COOCH}_2\text{CH}_3$        $\text{R}'' : \text{CH}_2\text{CH}_3$       ( 39 )

Polihidroksi fenoller bu tepkimeye oldukça yatkındırlar. Elektron çekici gruplar genellikle bu tepkimeyi engelleyecek şekilde davranışlarılar. Bu tepkimede farklı ketonik grup ve farklı ester grupları içeren bileşikler kullanarak farklı kumarin türevleri sentezlenebilmektedir.

### 1.2.3 Knoevenagel Kondenzasyon Tepkimesi İle Kumarin Sentezi

2-hidroksibenzaldehit ve türevlerinin etilmalonat, etilasetoasetat ve etilsiyanoasetat ile piperidin ve piridin gibi organik bazlar varlığında ısıtılması sonucu farklı kumarin türevleri sentezlenmiştir ( 1.3 ) [1].

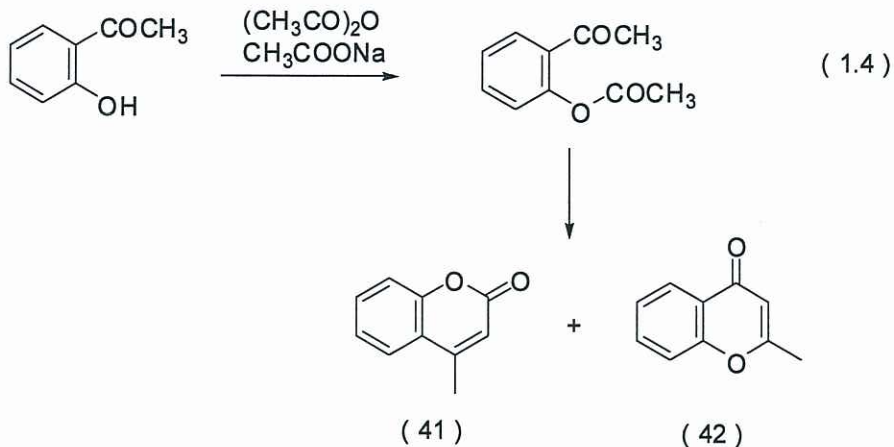


$\text{R}_1 : \text{OH}$

$\text{R}_2 : \text{CO}_2\text{CH}_2\text{CH}_3$  ( 40-a ),  $\text{COCH}_3$  ( 40-b ),  $\text{CN}$  ( 40-c )

### 1.2.4 o-Hidroksiarilketonların Kostanecki Açılısyonu İle Kumarin Sentezi

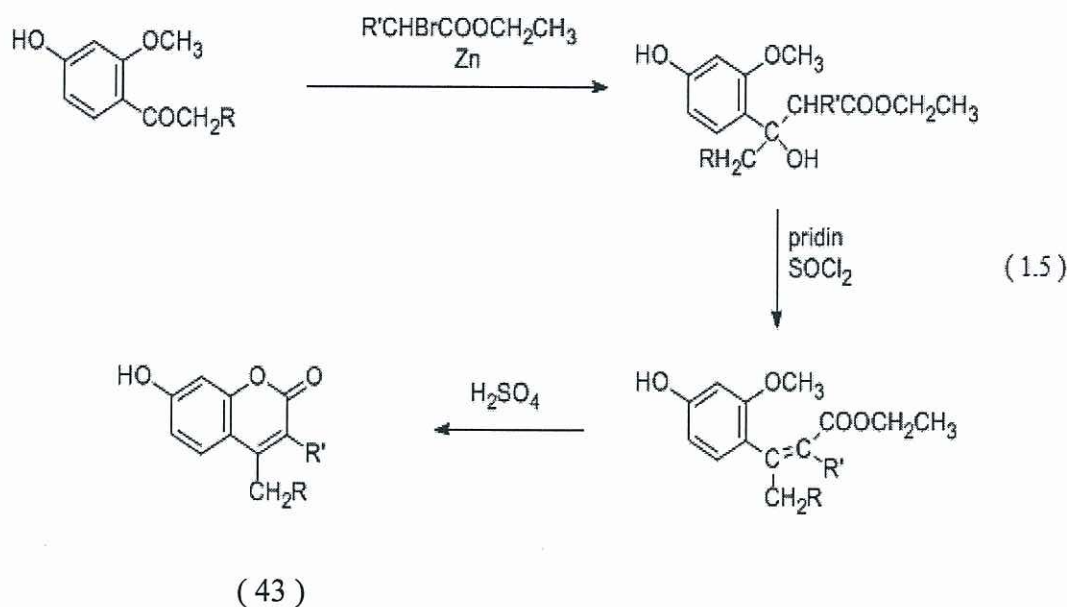
Bu yöntem Allan-Robinson ya da Kostanecki-Robinson tepkimesi olarak da bilinmektedir. o-hidroksiarilketonlar ısıtılarak asitanhidrit ve bu asidin sodyum tuzu ile tepkimeye girmektedir ( 1.4 ) [1]. Bu tepkimede önce kumarin açılı türevi olan bir ara ürün oluşur ve bu ara ürünü bir su molekülünün ayrılması ile meydana gelen kondenzasyon sonucu kumarin ve kromon bileşikleri oluşur[1].



Bu tepkime sonucu 2-metilkromon ( 42 ) ve 4-metilkumarin ( 41 ) bileşiklerini içeren bir karışım oluşturmaktadır. Sentezlenen bu bileşiklerin IR ve UV spektrumları oldukça benzerdir. Daha sonra Baker ve Eastwood fenilasetikasit ve fenilasetat kullanarak kromon oluşmadığını gözlemlemişlerdir. Bu iki bileşliğin ayrımı ortamın asitlendirilmesi veya bazikleştirilmesi ile sağlanabilir. Kromon HCl ile kristal yapıda tuzlar verirken kumarin HCl çözeltisinde kararlıdır [1].

### 1.2.5 Reformatsky Tepkimesi İle Kumarin Sentezi

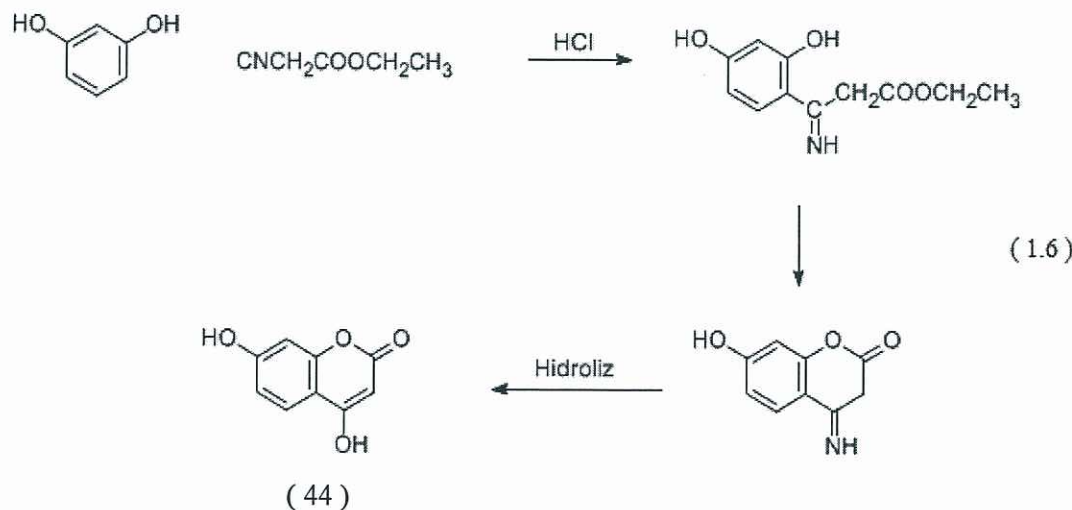
Bu tepkime ile o-hidroksiarilalkil ketonlar kullanılarak 3,4-disübstitüe kumarinler ( 43 ) sentezlenebilmektedir. Tepkime metalik çinko varlığında  $\alpha$  karbonuna brom bağlı esterler ile gerçekleşir ( 1.5 ) [1].



Bu tepkimede oluşan sinnamik asit ara ürününde R gruplarının *cis* yapıda olmaları durumunda kumarine dönüşümün gerçekleştiği görülmüştür. R gruplarının *trans* formda olduğu hallerde sinnamik asit kumarin halkasına dönüşmemektedir [1].

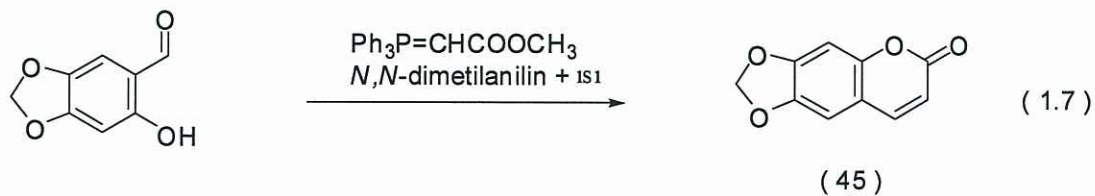
### 1.2.6 Houben – Hoesch Tepkimesi İle Kumarin Sentezi

Sonn, rezorsinolü siyanoasetik ester ile Houben – Hoesch tepkimesi koşullarında tepkimeye sokmuştur. Ara ürün olarak ketimin oluşmakta ve hidroliz ile bu bileşik 4,7-dihidroksikumarine ( 44 ) dönüşmektedir ( 1.6 ) [1].



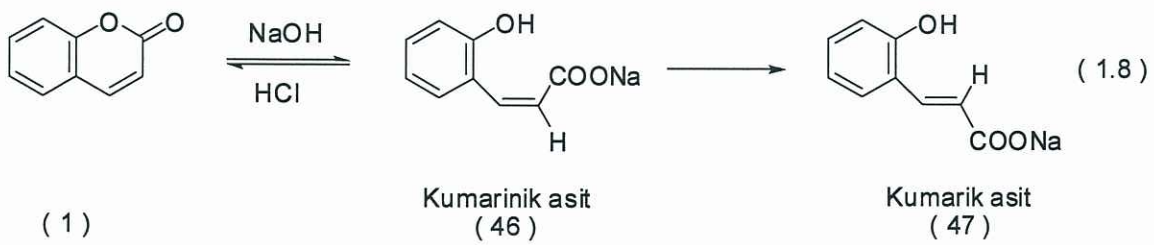
### 1.2.7 Wittig Tepkimesi İle Kumarin Sentezi

Wittig tepkimesi kullanılarak salisilikaldehitler ve alkoksikarbonilmetilentrifenilfosforanların *N,N*-dimetilanilin içerisinde ısıtılarak yüksek verimli kumarin türevleri sentezlenmiştir ( 1.7 ) [12].



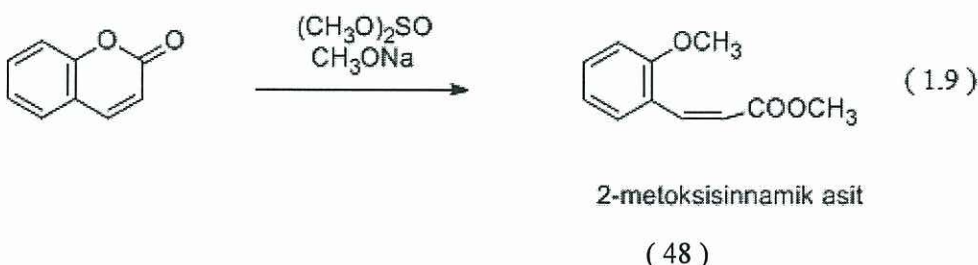
### 1.3 Kumarinlerin Kimyasal Özellikleri

Kumarin grubuna ait tüm bileşikler alkali ortamda lakton halkasının açılması şeklinde tepkime verirler. Kumarinin seyreltik sodyum hidroksit ile tepkimesi sonucu lakton halkası açılarak sodyum kumarinat oluşur. Bu bileşiğe aynı zamanda kumarinik asit sodyum tuzu (*cis*-2-hidroksisinnamik asit sodyum tuzu) ( 46 ) da denir. Bu yapı alkali ile uzun süre muamele edildiğinde *cis* asit yapısı kararlı trans asidin tuzuna (*trans*-2-hidroksi sinnamik asit soydum tuzu) ( 47 ) dönüşür ve bu aside kumarik asit denir ( 1.8 ) [6].

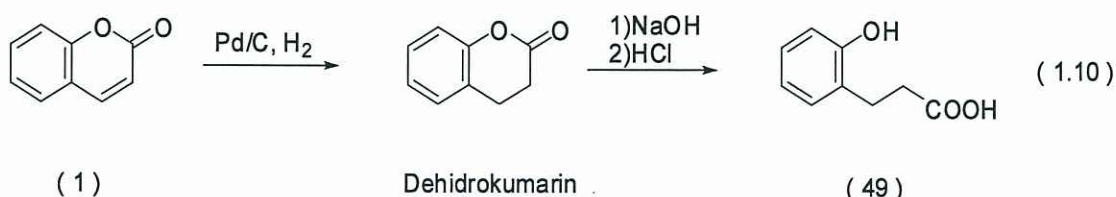


Kumarin ve kromon bileşiklerinin aynı anda olduğu tepkimelerde kumarin bileşiğinin hassas testi alkali çözeltilerle lakton halkasının açılması ve kumarinik

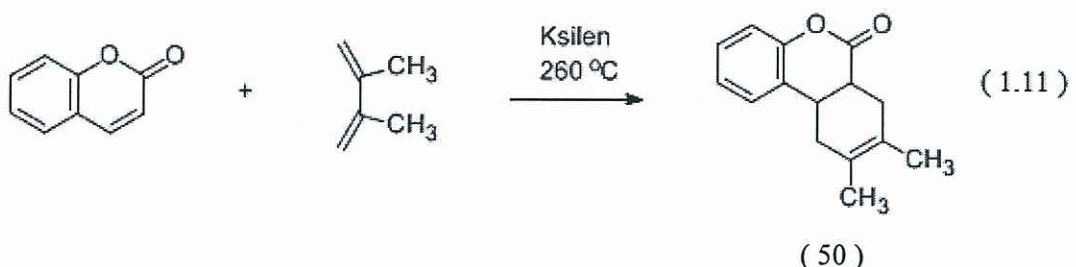
asidin daha kararlı olan kumarik aside fotokimyasal olarak dönüşmesi esasına dayanmaktadır. Kumarin iskeletinin hidrolizi ile aynı anda 2 konumunda bulunan fenolat grubu alkalimetall hidroksit ve dimetilsülfat ile metilenir. Tepkime ürünü 2-metoksi sinnamik asittir (48) (1.9). Burada oluşan ürünün 2-metoksi sinnamik asit veya bir türevi olması maddenin kumarin olduğunu gösterir [1].



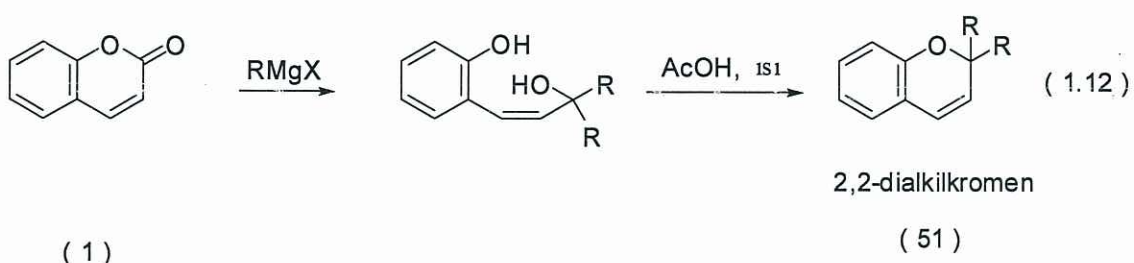
Kumarin ve türevleri çeşitli indirgeyici bileşiklerle dehidrokumarinlere dönüştürülebilir ve bunların hidrolizi sonucunda da asit oluşur. Kumarin bileşigiden bu şekilde melilotik asit ( 49 ) oluşur ( 1.10 ) [5].



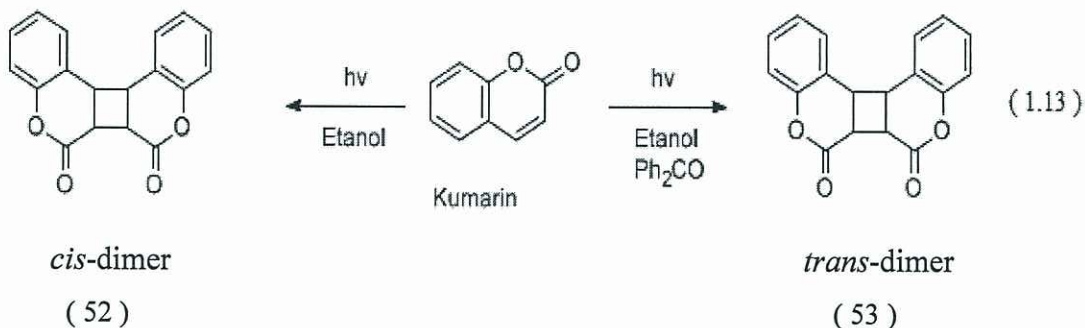
Piron halkasındaki çift bağ  $\alpha,\beta$ -doymamış karbonil bileşiklerinde olduğu gibi olefinik karakterdedir. Kumarin 2,3-dimetilbüttadien ile Diels-Alder tepkimesi vermesi sonucu 8,9-dimetil-6a,7,10,10a-tetra-hidrobenzo- $\alpha$ -piron ( 50 ) bileşiği elde edilir ( 1.11 ) [5].



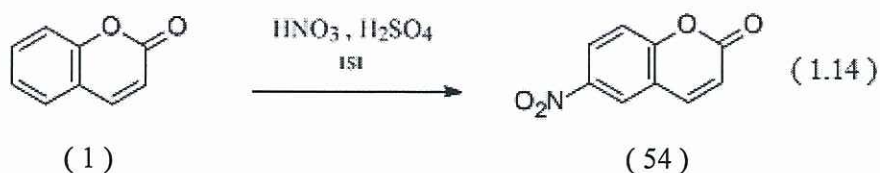
Kumarin bileşiginin piron halkası Grignard reaktifleri ile asetik asit içerisinde dehidratasyona uğrayarak 2,2 dialkilkromen ( 51 ) bileşğini verir ( 1.12 ) [5].



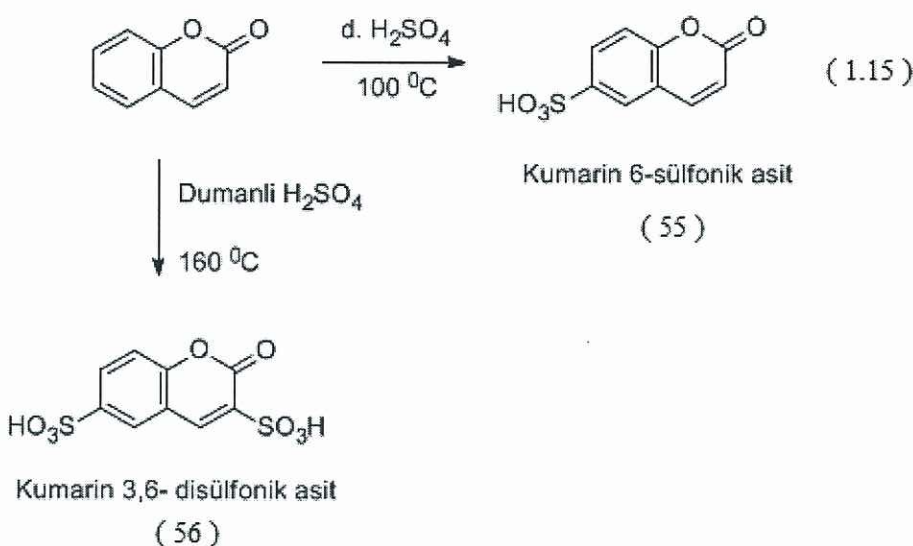
Kumarin katı halde uzun zaman veya etanol içerisinde UV veya güneş ışığı ile etkileştiğinde *cis*-siklobütan ( 52 ) birimi içeren dimer oluşur. Aynı etkileşim etanol içerisinde benzofenon varlığında yapılrsa *trans*-siklobütan ( 53 ) içeren dimerlere dönüşür ( 1.13 ).



Kumarin bileşiği dumanlı sülfürik asit ve nitrik asit varlığında nitrolama tepkimesine sokulduğunda 6-nitrokumarin ( 54 ) bileşiği ele geçer ( 1.14 ) [1].



Kumarinin sülfolanmasında  $100^{\circ}\text{C}$ 'de derişik sülfürik asit kullanıldığı zaman sülfolamanın nitrik asitte olduğu gibi benzen halkası üzerinden ve Şekil 1.1 bileşik ( 1 )'de verilen 6 konumundan ( 55 ) olduğu görülmüştür. Tepkime sıcaklığı  $160^{\circ}\text{C}$ 'ye çıkarıldığında ise kumarin 3,6-disülfonik asit ( 56 ) ele geçer ( 1.15 ) [1].

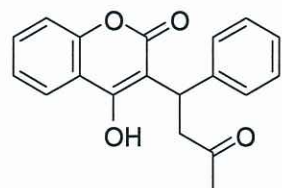


Kumarin bileşiği oda sıcaklığında kloroform içerisinde bromla tepkimeye sokulduğunda 3,4-dibromokumarin ele geçmektedir. Tepkime ortamında karbon disülfür ( $CS_2$ ) bulunduğunda bromlama sonucu 3,6-dibromokumarin bileşığının olduğu görülmüştür. Tepkime basınç altında gerçekleştirildiğinde ise 3,6,8-tribromokumarin türevi ele geçmektedir [1].

#### 1.4 Kumarin Türevlerinin Aktiviteleri

Kumarin ve türevlerine bitkilerde tek başlarına veya başka moleküllerle bileşik halinde yaygın olarak rastlanır. Bunun yanında bir çok kumarin türevi laboratuarlarda sentezlenebilmektedir. Bu bileşikler çeşitli biyolojik aktiviteler sergilemeleri nedeniyle ilgi ile çalışılmaktadır. Biyolojik aktivitelerinin yanı sıra kumarin halkasına takılan sübstansiyonlar kumarin bileşigine güçlü flouresans özellik kazandırmaktadır [24-27].

Kumarin bileşiklerinin bilinen en önemli özellikleri canlılarda kanama sırasında antikoagülant olarak davranışasıdır. Bazı kumarin türevleri antikoagülant olarak eczacılıkta kullanılmaktadır [13]. Şekil 1.16'da antikoagülant olarak satılan warfarin ( 19 ) bileşığının açık yapısı görülmektedir.



Warfarin

( 19 )

Şekil 1.16 Warfarin

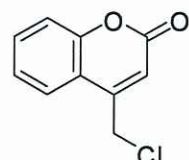
Kumarin türevleri gıda sanayinde ve kişisel temizlik malzemelerinde bir dönem kullanılmıştır. Ancak hayvanlar üzerinde yapılan deneyler sonucu toksik özellik gösterdiği belirlenince FDA tarafından 1954 yılında kullanımı yasaklanmıştır [14,15].

Doğal kumarin bileşikleri hoş kokuları nedeniyle parfüm sanayinde kötü kokuları maskelemek amacıyla kullanılmaktadır [16].

Kumarin bileşiginin 3 konumuna fenil grubunun takılmasıyla elde edilen kumarin türevlerinin kuvvetli antioksidan ve östrojen etki gösterdikleri gözlenmiştir. 3-fenil kumarin bileşikleri aril flavonoid türevleridir ve bitkilerden de izole edilmektedir. 3-fenilkumarinin bitkiler üzerindeki etkileri incelendiğinde bu bileşiklerin bitki filizlenmesini inhibe ettiği görülmüştür.

2008 yılında Başaran ve arkadaşları tarafından sentezlenen bazı 3-fenilkumarin bileşiklerinin insan vücutu için çok kritik bir önemi olan karbonik anhidraz enziminin inhibisyonu üzerindeki etkileri araştırılmıştır [17].

Şekil 1.17' deki gibi kumarin halkasının 4 konumuna klorometil grubunun takılması sonucu farklı kumarin türevleri ( 57 ) sentezlenmiş ve biyolojik aktiviteleri incelenmiştir. 2010 yılında Çakır ve arkadaşları tarafından 4 konumuna klorometil takılan kumarin türevleri, sekonder aminlerle etkileştirilerek amino kumarin türevleri sentezlenmiş, bu bileşiklerin taç eter türevlerine geçilerek metal tutma, antibakteriyel ve antioksidan özellikleri araştırılmıştır [18].



( 57 )

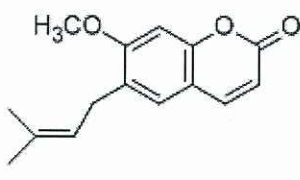
**Şekil 1.17** 4 Konumunda klorometilen içeren kumarinlerin genel gösterimi

Bir başka çalışmada kumarin bileşiklerinin çinko ve bakır türevleri sentezlenmiş ve yüksek oranda ülser inhibisyonu gösterdikleri görülmüştür [19].

Kumarin bileşiklerinin inhibisyon özelliklerinin incelendiği çalışmaların belki de en önemlisi AIDS virüsünün insan vücuduna integrasyonunu sağlayan enzim olan HIV integraz enzimi üzerinde yapılan çalışmalardır. Bazı biskumarin türevlerinin bu

enzimi yüksek oranda inhibe ettiği görülmüştür. Bu, AIDS tedavisinde kumarinlerin potansiyel olarak kullanılabileceği umudunu doğurmuştur [20].

Bu çalışmaların yanında kumarin türevlerinin kanser tedavisindeki etkileri de araştırılmaktadır. Kumarin bileşiklerinin göğüs kanseri, mide kanseri, bağırsak kanseri ve böbrek kanseri tedavisindeki etkileri araştırılmıştır. Şekil 1.18' de görülen kumarin türevleri ( 58, 59 ) özellikle göğüs kanseri tedavisinde umut vermektedir [21].



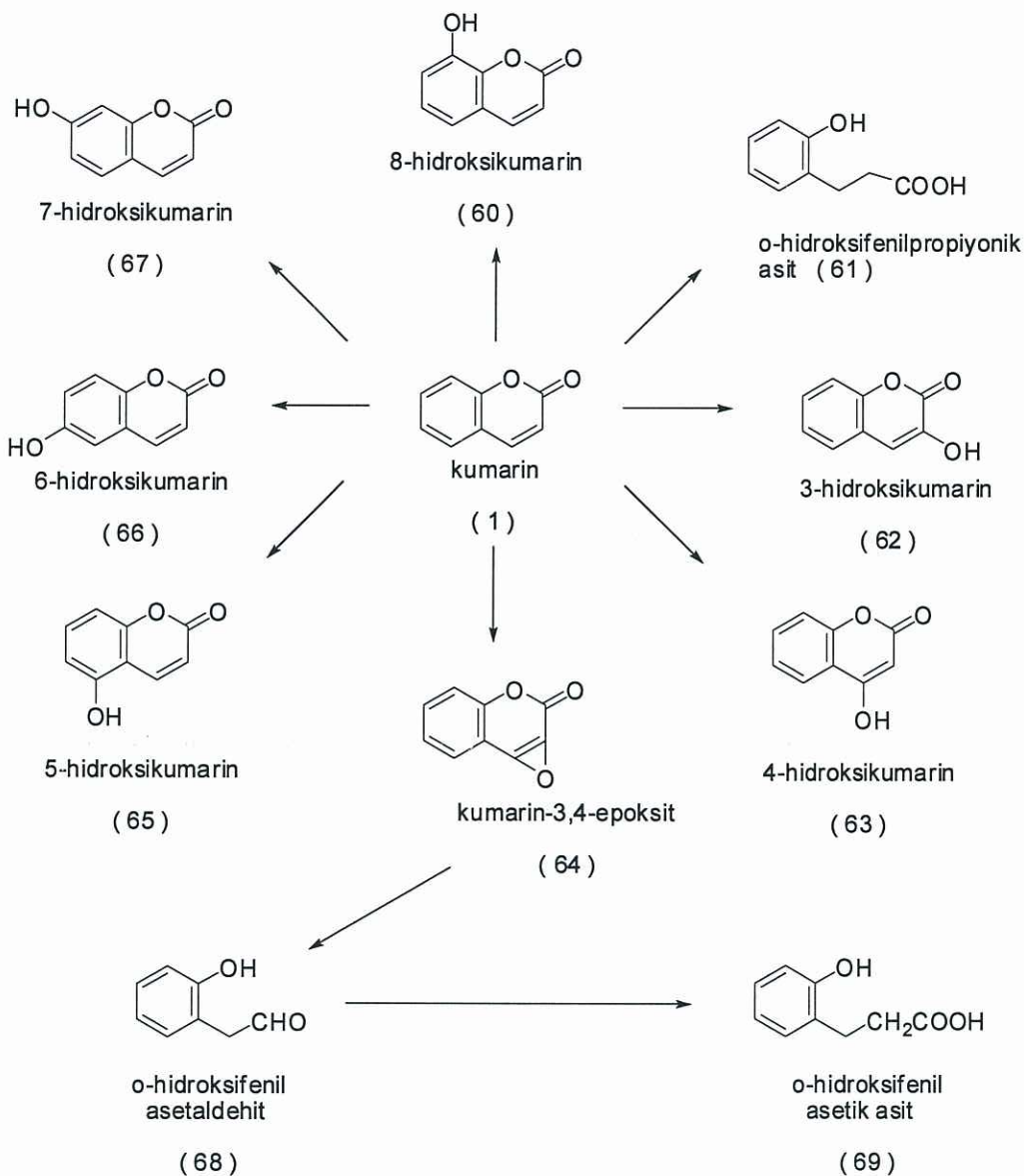
( 58 )



( 59 )

**Şekil 1.18** Kanser tedavisinde aktivite gösteren bazı kumarin türevleri

2001 yılında sıçanlar üzerinde yapılan bir çalışmada kumarinin vücutta nasıl metabolize olduğu araştırılmıştır. Şekil 1.19'da görüldüğü gibi kumarin bileşiginin (3,4,5,6,7,8 konumları) hidroksil grubu bağlanarak yükseltgendiği görülmüştür. Bu 6 olasılıktan en fazla 7-hidroksikumarin ( 67 ) ve 3-hidroksikumarin ( 62 ) olduğu tespit edilmiştir. 7-hidroksikumarin ( umbelliferon ) bitki hücrelerinde bulunan doğal bir bileşiktir. Metabolize olan bu bileşiklerinin kanserle tedavide etkili olmalarının yanı sıra radyoterapinin oluşturduğu yan etkilerin giderilmesinde de etkili oldukları saptanmıştır [22,23].



Şekil 1.19 Kumarin bileşiginin metabolizması

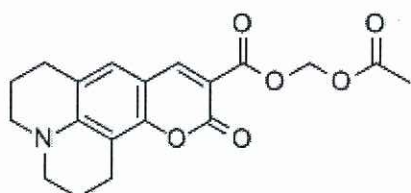
Kumarin ve türevlerinin toksisitesi hakkında birçok çalışma yapılmıştır. Bu çalışmalar sıçan, fare, insan gibi farklı canlılar üzerinde yapılmıştır [23]. Her canlıda kumarinin metabolize olması sonucu farklı metabolitlerin farklı oranlarda oluştuğu bilinmektedir. Kumarin 1954 yılından beri FDA tarafından toksik madde olarak sınıflandırılmış ve kullanımı veya gıdalara karıştırılması yasaklanmıştır. FDA'nın aldığı bu karar sıçanlar üzerinde yapılan çalışmalara göre alınmıştır ve bu çalışmalar sonucu NIOSH tarafından da kumarin karsinojenik olarak tanımlanmıştır. Ancak

Ames yaptığı testlerde kumarinin mutagenik olmadığını göstermiştir. Bu da sıçanların metabolizmasının insan metabolizması ile karşılaşırılmasının yaniltıcı olabileceğini göstermiştir. İnsanlarda ana metabolit 7-hidroksikumarin iken sıçanlarda ana metabolit 3-hidroksikumarindir. Sıçanlarda 3-hidroksikumarinin ölümcül dozu 1,8 g/kg iken 3,2 g/kg 7-hidroksikumarin dozu ile hiçbir toksik etki göstermemiştir. İnsanda kumarin toksisitesi ile ilgili birkaç çalışma vardır. Bu çalışmalar sonucunda kumarinin karaciğerin fonksiyonunu bozduğu kesin olarak kanıtlanamamıştır. 2163 hastada yapılan çalışmada toksik sıklığın sadece % 0,37 olduğu gözlenenmiş ve kumarin tedavisi kesildiğinde bu etkinin ortadan kalktığı görülmüştür. Bu nedenle kumarinin bazı kişilerde karaciğer enzim seviyesini yükselterek karaciğer fonksiyonlarını etkileyebileceği belirtilmiştir [15,23].

Kumarinler biyolojik aktivitelerinin yanında farklı alanlarda da kullanılmaktadır ve bu alanlardaki çalışmalar hızla devam etmektedir. Kumarinler renksiz bileşikler olmalarına rağmen kumarin bileşigine takılan sübstüentler ( 6 veya 7 konumlarına elektron verici, 3 veya 4 konumlarına ise elektron çekici ) kumarinleri renkli yapmakta ve onlara güçlü flouresans özellik kazandırmaktadır. Kumarin halkasına takılan yeni tür grupların flouresans özelliği nedeniyle 4-bromometil kumarin ve buradan elde edilen türevlerle yağ asitlerinin ve diğer karboksilli asitlerin kromatografik olarak tanımlarının mümkün olacağı belirtilmiştir [24].

Kumarin bileşiklerinin farklı sübstüentler ile farklı flouresans özellik göstergeleri onların birçok iyon ve farklı türün analizinde kullanılmasını sağlamaktadır. Bu tür çalışmalara bir örnek  $Cu^{2+}$  katyonunun analizinde amino grupları içeren kumarin türevinin farklı,  $Cu^{2+}$  katyonunu bağladıktan sonra oluşan kumarin türevinin farklı flouresans özellik göstermesi ile  $Cu^{2+}$  ya seçimli sensörler geliştirilmesidir [25]. Bu çalışmaya benzer bir çalışma  $Mg^{2+}$  katyonu için de yapılmış  $Mg^{2+}$  ya karşı hassas kumarin bazlı sensörler geliştirilmiştir. Sentezlenen kumarin türevlerinin magnezyum katyonu ilave edilmeden ve ilave edildikten sonra UV absorpsiyonları ölçülmüş ve absorpsiyon bandının oldukça değiştiği belirlenmiştir. Bu değişikliğin nedeni  $Mg^{2+}$  katyonun kumarin türevi ile oluşturduğu komplekstir. Ortama ilave edilen KCl ve NaCl tuzlarının spektruma bir etkisi

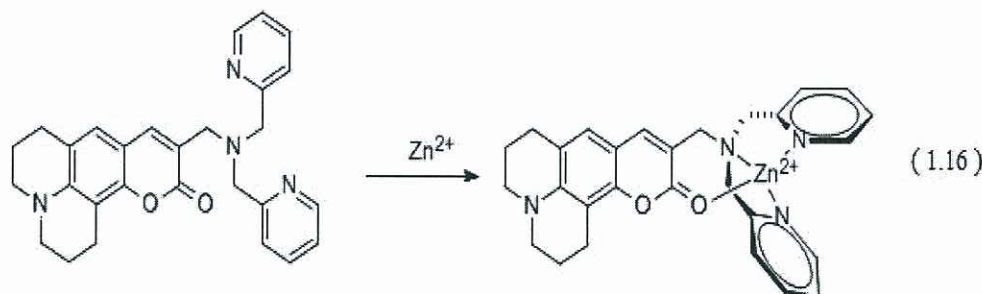
olmadığı belirlenmiştir. Bu da  $Mg^{2+}$  katyonuna seçiciliğin yüksek olduğunu göstermektedir [26]. Şekil 1.20'de  $Mg^{2+}$  analizi için kullanılan kumarin türevi görülmektedir ( 70 ).



( 70 )

**Şekil 1.20**  $Mg^{2+}$  analizi için kullanılan kumarin türevi

Benzer bir çalışma  $Zn^{2+}$  katyonu ile de yapılmıştır ( 71, 72 ) ( 1.16 ) [27].



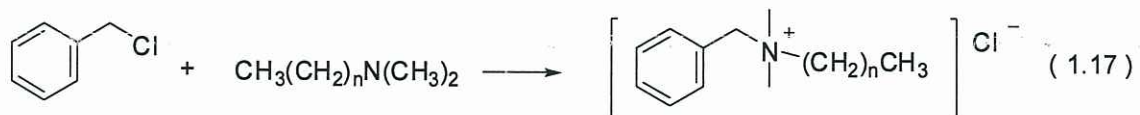
( 71 )

( 72 )

## 1.5 Kuaterner Amonyum Tuzları

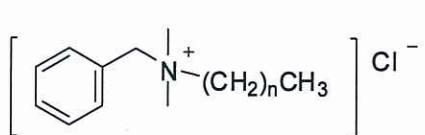
Kuaterner amonyum iyonları  $\text{NR}_4^+$  yapısında pozitif yüklü bileşiklerdir. Kuats olarak da adlandırılırlar. R alkil veya aril grupları olabilir. Kuaterner amonyum katyonu,  $\text{NH}_4^+$ , primer, sekonder veya tersiyer amonyum iyonlarının aksine pH'a bağlı olarak yük değişikliği göstermez, sürekli pozitif yüklüdür. Kuaterner amonyum tuzları kuaterner amonyum iyonları ve karşı bir anyondan oluşur [28].

Kuaterner amonyum tuzlarının hazırlanmasında en çok kullanılan yöntem tersiyer amin bileşiklerinin alkil halojenürler ile tepkimesidir ( 1.17 ) [29].

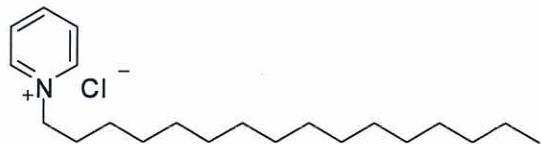


Benzalkonyum klorür türevi  
( 73 )

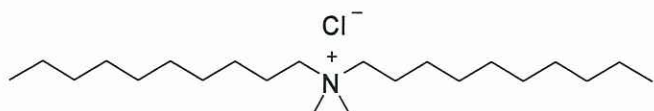
Kuaterner amonyum tuzlarının en çok bilinen özellikleri antimikrobiyal özellikleridir. Özellikle uzun alkil zinciri içeren kuaterner amonyum tuzları antimikrobiyal ve disinfektant özellik sergilemektedir. Bunun dışında kuaterner amonyum tuzları mantarlara ve virüslere karşı da aktiftir. Kuaterner amonyum bileşikleri sabun ve anyonik deterjanlar tarafından deaktive edilir. Kuaterner amonyum tuzları sert sularda da deaktive olur ve sert sularda kullanılmamaları önerilir. Kuaterner amonyum tuzları mikrop ve mantar gibi canlıları hücre zarlarını parçalayarak etkisiz hale getirirler [30]. Şekil 1.21' de antimikrobiyal aktiviteye sahip bazı kuaterner amonyum tuzları görülmektedir ( 73- 76 ).



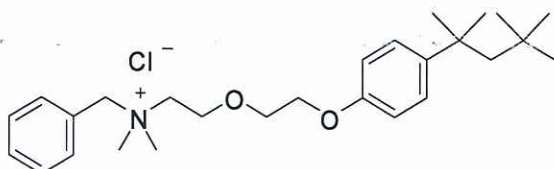
Benzalkonium türevi  
( 73 )



1-hekzadesipridyum klorür  
( 74 )



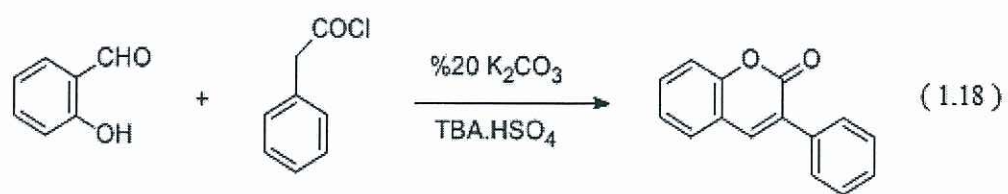
Didesil, dimetilamonyum klorür  
( 75 )



Benzetonyum klorür  
( 76 )

**Şekil 1.21** Antimikroiyal aktiviteye sahip bazı kuaterner amonyum tuzları

Kuaterner amonyum tuzları antimikroiyal etkilerinin yanında organik kimyada faz transfer katalizörü olarak da kullanılırlar [29]. Birbiri ile karışmayan iki çözücü ve reaktiflerin kullanıldığı tepkimelerde kuaterner amonyum tuzları fazlar arası transferi sağlar. Örneğin çözücü olarak diklormetan kullanılan ve salisilikaldehit ve fenilasetilklorürle 3-fenilkumarin sentezinde faz transfer katalizörü olarak tetrabütilamonyumhidrojensülfat ( TBA.HSO<sub>4</sub> ) kullanılır ( 1.18 ) [31].



## **1.6 Çalışmanın Amacı**

Çalışmamızın temel amacı yüksek biyolojik aktiviteye sahip iki tür olan kumarin ve kuaterner amonyum tuzu yapılarını bir arada içeren kumarin kuaterner amonyum tuzlarının sentezlenmesi ve biyolojik aktivitelerinin incelenmesidir. Kumarin ve türevleri genellikle apolar organik çözücülerde çözünen ve suda çok az miktarda çözünen bileşiklerdir. Bu çalışmanın diğer bir amacı iyonik yapıda kumarin türevleri sentezleyerek kumarin bileşiğinin sudaki çözünürlüğünü artırmaktır.

## **2. MATERİYAL VE YÖNTEM**

Sentezlenen kumarin bileşikleri havanın oksijenine karşı duyarlı bileşikler olduklarından tüm deneyler argon gazı altında inert atmosfer ortamında Schlenk teknigi kullanılarak gerçekleştirildi. Tepkimelerde kullanılan cam malzemeler kullanılmadan önce vakum altında ısıtılarak içerisindeki hava ve nem uzaklaştırılmış argon gazı dolduruldu.

Sentezlerde kullanılan kimyasal çözüçüler Sigma-Aldrich firmasından ticari olarak temin edildi, uygun saflaştırma yöntemleri ile saflaştırıldı ve saflıkları  $^1\text{H}$ -NMR ile kontrol edildikten sonra kullanıldı. DMF ve DCM, fosfor pentaoksit (  $\text{P}_2\text{O}_5$  ) varlığında; dietileter, metalik Na varlığında; aseton,  $\text{MgSO}_4$  varlığında kaynatıldıktan sonra kullanıldı. Sentezlerde kullanılan  $\text{CH}_3\text{CN}$  vetoluen ticari olarak temin edildiği şekilde ( analitik saflıkta ( %99,9 ) ) kullanıldı.

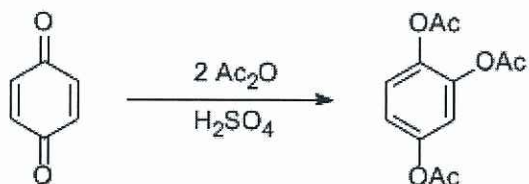
Sentezlerde kullanılan 1,4-benzokinon, rezorsinol ( 1,3-dihidroksibenzen ), prygallol ( 1,2,3-trihidroksibenzen ), etil-4-kloroasetoasetat,  $N,N$ -dimetilbenzilamin,  $N,N$ -dimetilisopropilamin bileşikleri Sigma-Aldrich firmasından ticari olarak analitik saflıkta temin edildi ve bileşiklerin saflıkları  $^1\text{H-NMR}$  ile kontrol edildikten sonra kullanıldı.

NMR spektrumları Bruker Ultra Shield 300 MHz NMR cihazında alındı. FT-IR spektrumları Perkin Elmer Spectrum 100 FT-IR Spektrofotometresinde ATR ünitesi ile  $400\text{-}4000\text{ cm}^{-1}$  aralığında alındı. Erime noktaları Bornstead Electrothermal erime noktası tayin cihazı ile belirlendi.

Sentezlenen bileşiklerin antimikrobiyal aktivitelerinin incelenmesinde kullanılan DMSO Sigma-Aldrich firmasından analitik saflıkta temin edildi.

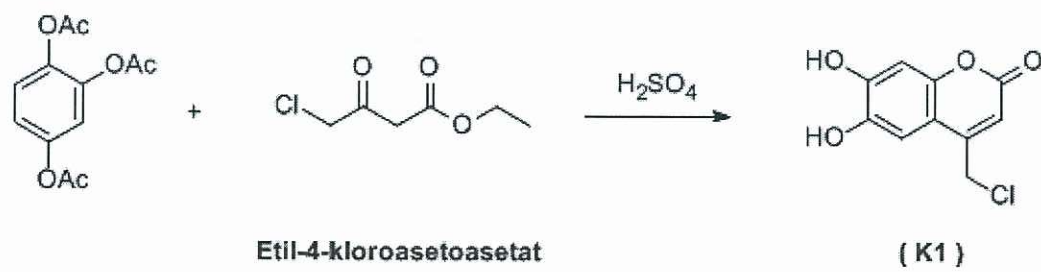
## 2.1 Sentezi Gerçekleştirilen Bileşikler

### 2.1.1 1,2,4 Triasetilbenzen Sentezi



3 g H<sub>2</sub>SO<sub>4</sub> ( 1.71 mL, %96 lik ), 45 g ( 41.75 mL, 0.45 mol ) asetik anhidrit üzerine dikkatlice damla damla ilave edildi. Daha sonra 15 g ( 0.15 mol ) p-benzokinon ( e.n : 115 °C ) kısım kısım 1 saatte eklendi. Bu esnada sıcaklık 40-50 °C’ de tutuldu. Bu sıcaklıkta 15 dakika karıştırılmaya devam edildi. Bu süre sonunda kahverenkli bir çökelek oluştu. Çökelek 600 mL soğuk suya döküldü, süzüldü, vakumda bol su ile iyice yıkandı. Vakum desikatöründe iyice kurutuldu ve karanlık bir ortamda saklandı. Verim : % 84. e.n : 96-97 °C.

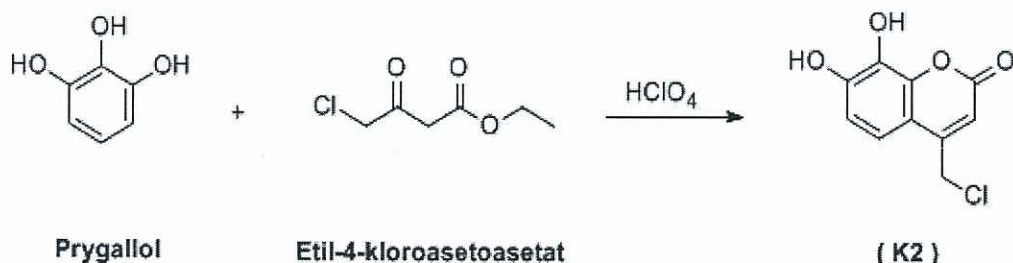
### 2.1.2 4-klorometil-6,7-dihidroksi-2H-kromen-2-on ( 4-klorometil-6,7-dihidroksikumarin ) ( K1 ) Sentezi



25,2 g ( 0.1 mol ) 1,2,4,-triasetilbenzen, 16,45 g ( 0.1 mol ) 4-kloro etilasetoasetat azot atmosferinde, ekzotermik bir reaksiyon verdiği için dikkatlice

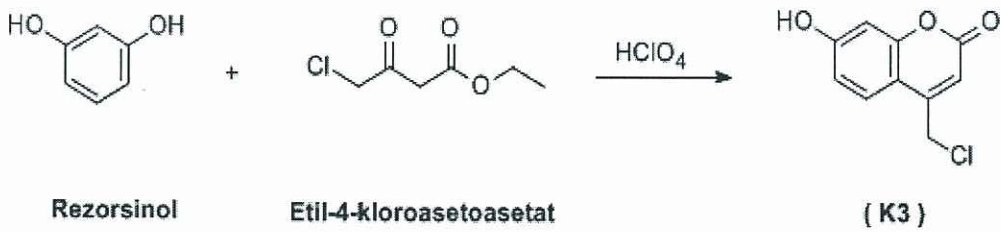
100 mL % 75'lik sülfirik aside katıldı. 2 saat karıştırıldı. Tepkime sonrası çözelti 600 mL soğuk suya katıldı ve kumarin çöktürüldü. Çöken maddemiz vakumda süzüldü ve yine vakum altında kurutuldu. Ürün açık havada bozulduğu için inert atmosferde asetik asit içerisinde kristallendirildi. 19,7 g. Verim : % 87. e.n. : 190-192°C.

### 2.1.3 4-klorometil-7,8-dihidroksi-2H-kromen-2-on ( 4-klorometil-7,8-dihidroksikumarin ) ( K2 ) Sentezi



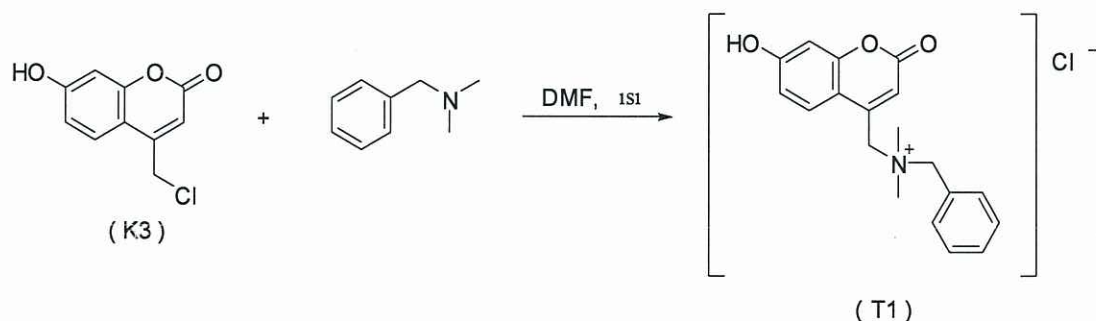
3.83 g ( 30 mmol ) pyrogallol, 5 g ( 30 mmol ) etil-4-kloroasetoasetat ve  $\text{HClO}_4$  ( 10 mL, %60'lık ) karışımı 90 °C'de 4 saat süreyle geri soğutucu altında ısıtıldı. Karışım buzlu su üzerine aktarılıarak kumarin çöktürüldü. Elde edilen ürün aseton:hekzan 3-2 çözücü sisteminde silikajel kullanılarak kolon kromatografisi ile saflaştırıldı. Sarı kristal ürün. 3.3 g. Verim : %48. e.n. : 215-217 °C.

### 2.1.4 4-klorometil-7-hidroksi-2H-kromen-2-on (4-klorometil-7-hidroksi kumarin) ( K3 ) Sentezi



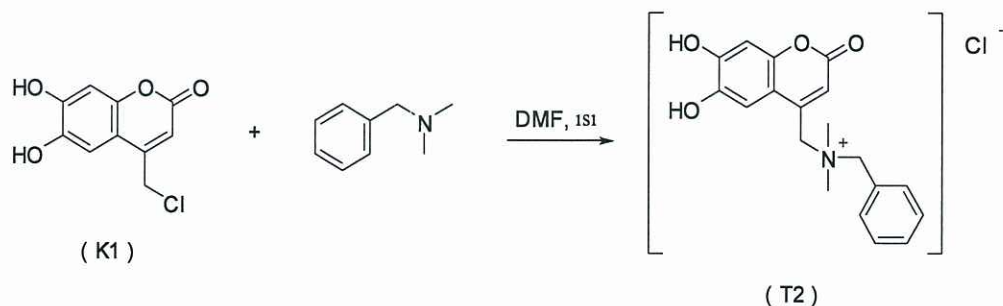
2.0 g ( 18,2 mmol ) rezorsinol, 2.1 g ( 18,2 mmol ) etil-4-kloroasetoasetat ve HClO<sub>4</sub> ( 3.6 mL % 70 ) karışımı 3 saat 80-90 °C'de geri soğutucu altında ısıtıldı. Karışım soğutuldu ve buzlu su üzerine boşaltıldı. Oluşan ham ürün süzüldü. Alınan katı madde nötral pH sağlanana kadar su ile yıkandı ve daha sonra DCM ile yıkandı. Sarı katı ürün. 2,1 g. Verim : %54. e.n. : 173-175°C ( Bozundu ).

### 2.1.5 *N*-4-klorometil-7-hidroksikumarinil-*N*-benzil-*N,N*-dimetilamonyum klorür ( T1 ) Sentezi



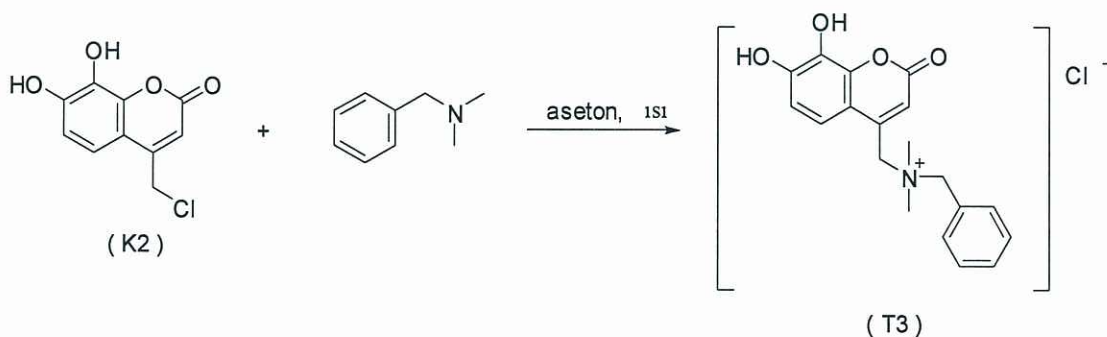
0,8 g ( 3,75 mmol ) 4-klorometil-7-hidroksikumarin ( K3 ) bileşiği 10 mL DMF'de çözüldü. Daha sonra üzerine 0,51 g ( 3,75 mmol ) *N,N*-dimetilbenzilamin eklendi. Tepkime inert atmosferde gerçekleştirildi. Tepkime 60 °C de 24 saat tutuldu. DMF vakum altında uzaklaştırıldı. Katı ürün saf su ile ekstrakte edildi. Su, vakum ve 1si ile uzaklaştırıldı. Elde edilen yağimsı ürün THF ile yıkandıktan sonra katılaştırıldı ve saflaştırıldı. Beyaz katı ürün. 0,21 g. Verim : %16. e.n. : 194-196 °C.

### 2.1.6 *N*-4-klorometil-6,7-dihidroksikumarinil-*N*-benzil-*N,N*-dimetilamonyum klorür ( T2 ) Sentezi



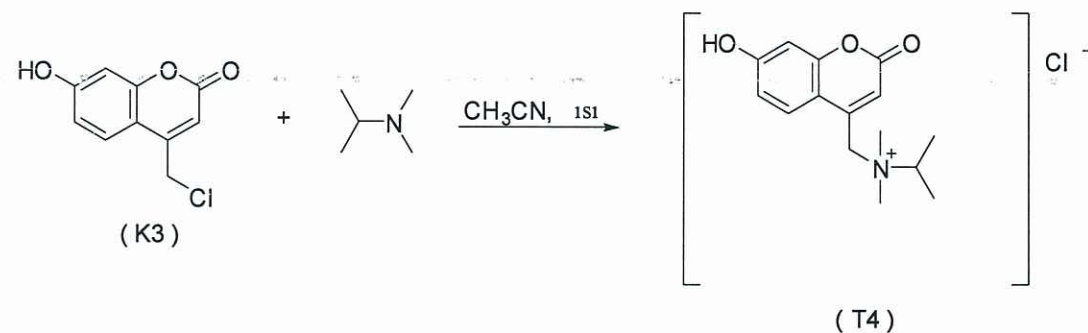
0,86 g ( 3,8 mmol ) 4-klorometil-6,7-dihidroksikumarin ( K1 ) bileşiği 10 mL DMF’de çözüldü. Karışma 0,51 g ( 3,8 mmol ) *N,N*-dimetilbenzil amine eklendi. Tepkime inert atmosferde gerçekleştirildi. Tepkime 100 °C’de 2 gün tutuldu. DMF vakum altında uzaklaştırıldı. Katı ürün sıcak su ile ekstrakte edildi. Su, ısı ve vakum yardımıyla uzaklaştırıldı. Kırmızı-turuncu katı ürün dietileter ve DCM ile yıkandıktan kurutuldu. 55 mg. Verim : %4 . e.n. : 190-192 °C.

### 2.1.7 *N*-4-klorometil-7,8-dihidroksikumarinil-*N*-benzil-*N,N*-dimetilamonyum klorür ( T3 ) Sentezi



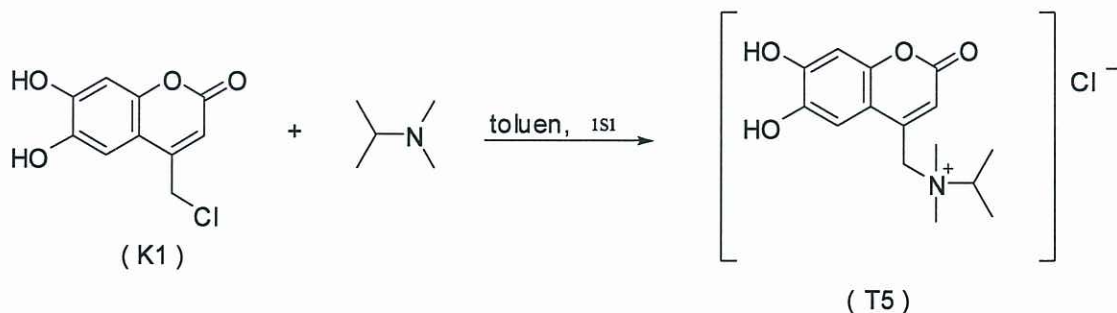
0,5 g ( 2,2 mmol ) 4-klorometil-7,8-dihidroksi kumarin ( K2 ) 20 mL asetonda çözüldü. Karışma 0,28 g ( 2,2 mmol ) *N,N*-dimetilbenzil amin eklendi. Tepkime inert atmosferde gerçekleştirildi. Karışım asetonda 2 gün geri soğutucu altında ısıtıldı. Az miktarda bir katı çıktı ve çöken katı süzülerek ayrıldı. Bu maddenin ürünü içermeyen bir karışım olduğu TLC ile anlaşıldı. Süzüntüye dietileter eklenerek kristallendirildi. Kristaller dietileter ve DCM ile yıkandı ve kurutuldu. Sarı katı ürün. 70 mg. Verim : %9. e.n. : 150 °C bozundu.

### 2.1.8 *N*-4-klorometil-7-hidroksikumarinil-*N*-izopropil-*N,N*-dimetilamonyum klorür (T4) Sentezi



0,5 g ( 2,4 mmol ) 4-Klorometil-7-hidroksikumarin ( K1 ) 10 mL asetonitrilde çözüldü. Karışma 0,2 g ( 2,4 mmol ) *N,N*-dimetilizopropil amin eklendi. Tepkime inert atmosferde gerçekleştirildi. Tepkime karışımı asetonitrilde 90-95 °C'de 4 gün geri soğutucu altında ısıtıldı. Asetonitril vakumda çekilerek uzaklaştırıldı. Oluşan katı ürün sıcak su ile ekstrakte edildi ve su uzaklaştırıldı. Kahverengi katı ürün. 70 mg. Verim : %10. e.n. : 204-208 °C bozundu.

### 2.1.9 N-4-klorometil-6,7-dihidroksikumarinil-N-izopropil-N,N-dimetilamonyum klorür ( T5 ) Sentezi



0,45 g ( 2 mmol ) 4-klorometil-6,7-dihidroksi kumarin ( K1 ), 20 mL toluen ile karıştırıldı ve karışımı 0,18 g ( 2 mmol ) N,N-Dimetil izopropil amin eklendi. Tepkime inert atmosferde gerçekleştirildi. Tepkime karışımı 2 gün 80 °C de ısıtıldı ve daha sonra 1 hafta geri soğutucu altında ısıtıldı. Tepkime sonunda oluşan ham ürün etil asetatla yıkınarak başlangıç maddesi olan 4-klorometil-6,7-dihidroksi kumarin ortamdan uzaklaştırıldı. Elde edilen ürün etanol ve dietileter sisteminde kristallendirildi. Sarı katı ürün 45 mg. Verim : %7. e.n. : 244-245 °C.

## 2.2 Sentezlenen Bileşiklerin Antimikroiyal Aktiviteleri İçin Genel Prosedür

Sentezlenen bileşikler 2 mL DMSO'da çözüldü. Sulandırma distile su ile yapıldı. Bu bileşiklerin derişimleri 800, 400, 200, 100, 50, 25, 12.5, 6.25 µg/mL'ye kadar seyreltildi. Bakteri ve mantarların ( 10<sup>6</sup> CFU s/mL ) standart inoculumları ( ekim yapılan miktar ) steril plastik halka uçlu öze ile ( 0.01 mL ) agar plaklarına ekim yapıldı. Ekim yapılan tüm plaklar 35 °C de inkübatorde bakteriler için 16-20 saat, mantarlar için 48 saat bekletildikten sonra değerlendirildi. Bakteri ve mantarların çoğalmasını önleyen en düşük derişimleri minimal inhibitör konsantrasyonu (MİK) olarak belirlendi. Testlerde mantarlar için Flucunazole, bakteriler için Ampicillin ve Ciprofloxacin standart karşılaştırma amaçlı kullanıldı [32,33,34].

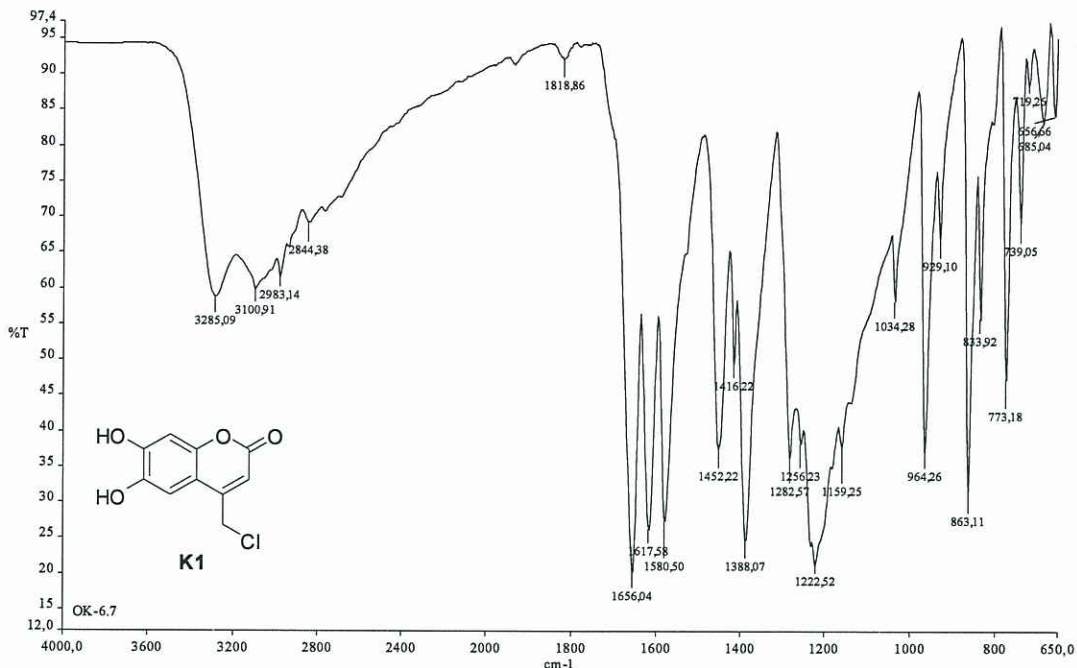
### 3. BULGULAR

#### 3.1 4-klorometil-6,7-dihidroksi-2H-kromen-2-on ( 4-klorometil-6,7-dihidroksikumarin ) (K1) Bileşığının Spektroskopik Bulguları

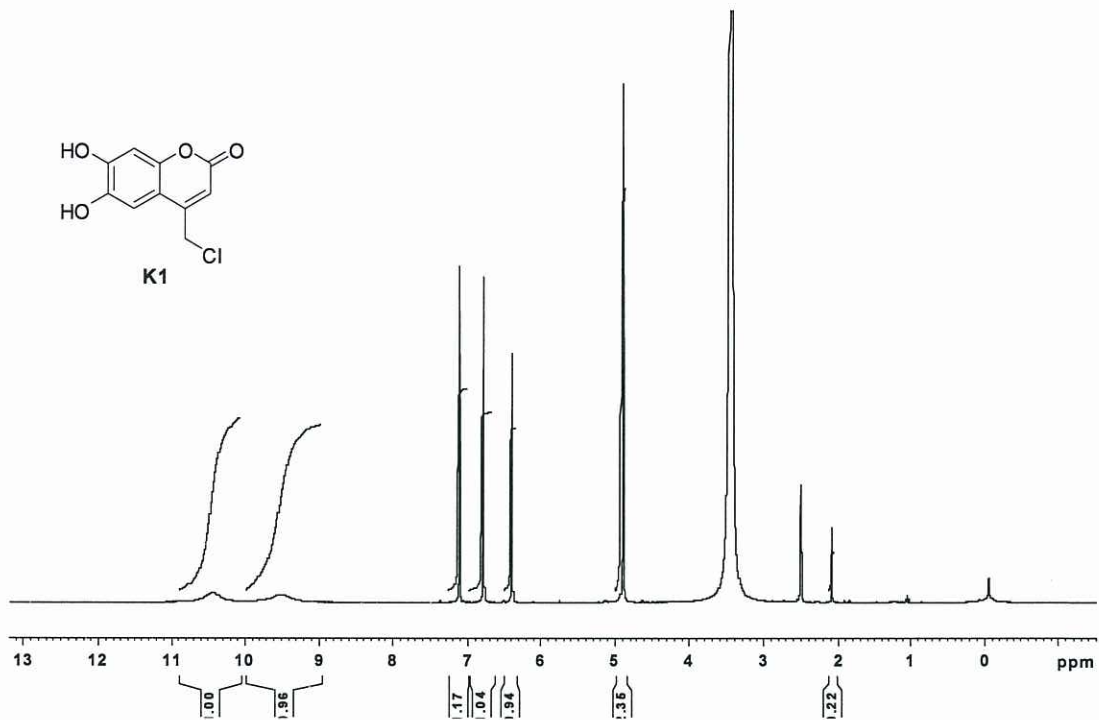
FT-IR (  $\text{cm}^{-1}$  ): 3285 ( Ar-OH geriliği ), 3101 ve 1819 ( aromatik C-H geriliği ), 1656 ( -C=O geriliği ), 1617 ( -C=C- geriliği )

$^1\text{H-NMR}$  (  $\delta_{\text{H}}$ , DMSO- $d_6$ , 300 MHz, ppm ) : 10.45 ( s, 1H ), 9.51 ( s, 1H ), 7.12 ( s, 1H ), 6.79 ( s, 1H ), 6.40 ( s, 1H ), 4.90 ( s, 2H )

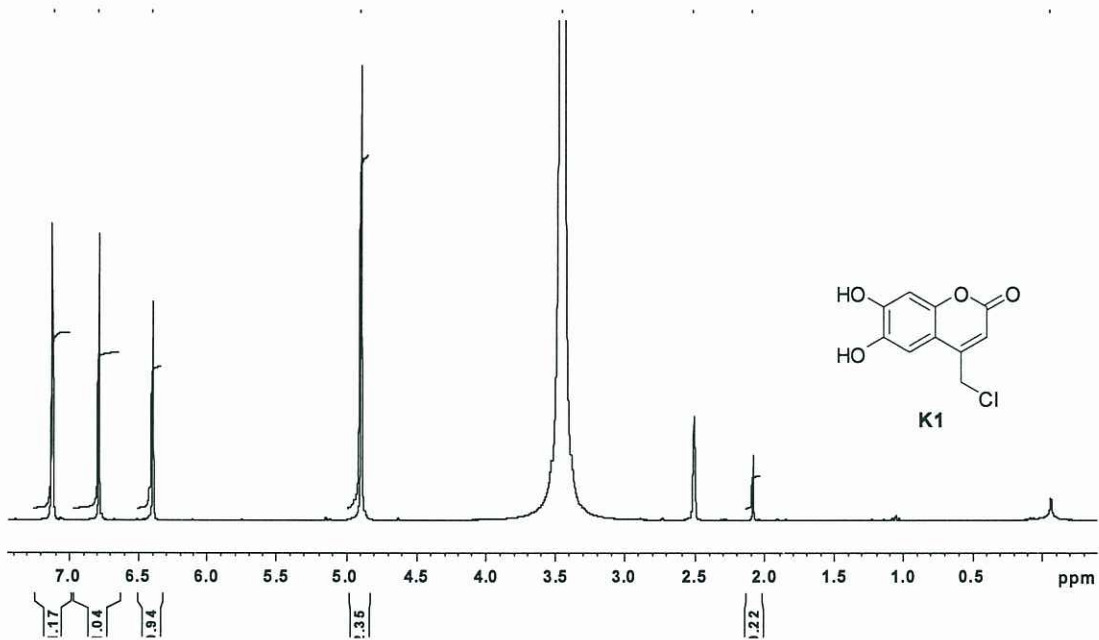
$^{13}\text{C-NMR}$  (  $\delta_{\text{C}}$ , DMSO- $d_6$ , 300 MHz, ppm ): 151.17, 151.05, 148.77, 143.36, 111.66, 109.86, 109.35, 103.36, 42.04



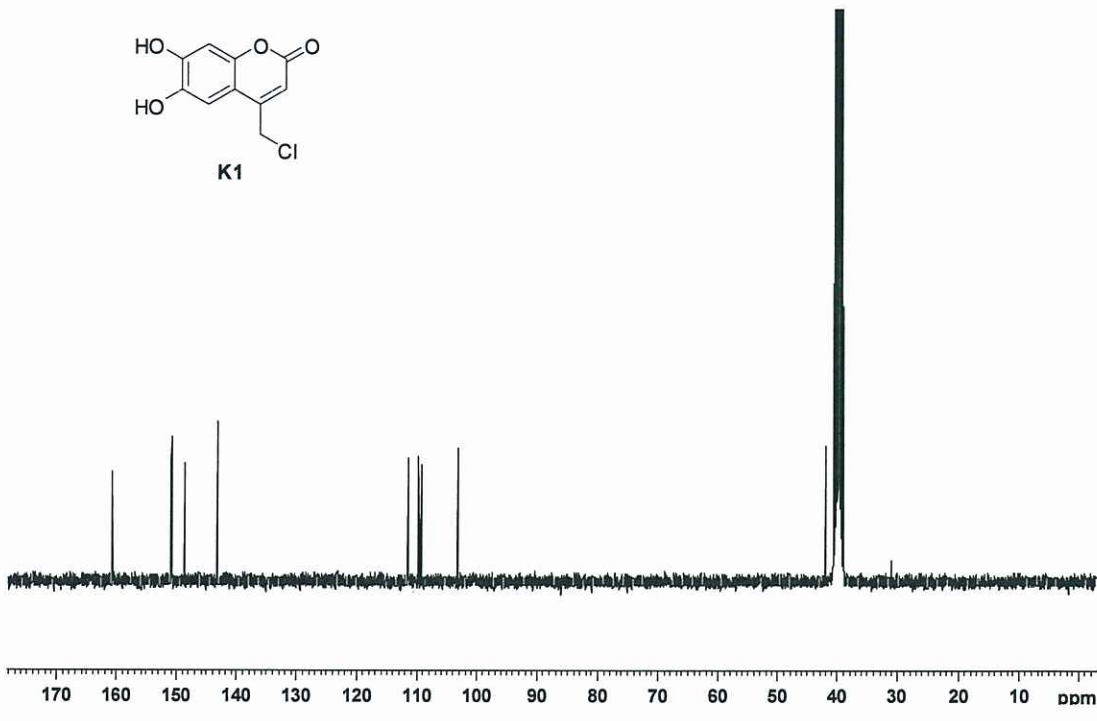
Şekil 3.1 K1 Bileşığının FT-IR Spektrumu



Şekil 3.2 a ) K1 Bileşигinin 0-13 ppm aralığında  $^1\text{H}$ -NMR Spektrumu



Şekil 3.2 b ) K1 Bileşигinin 0-7 ppm aralığında  $^1\text{H}$ -NMR Spektrumu



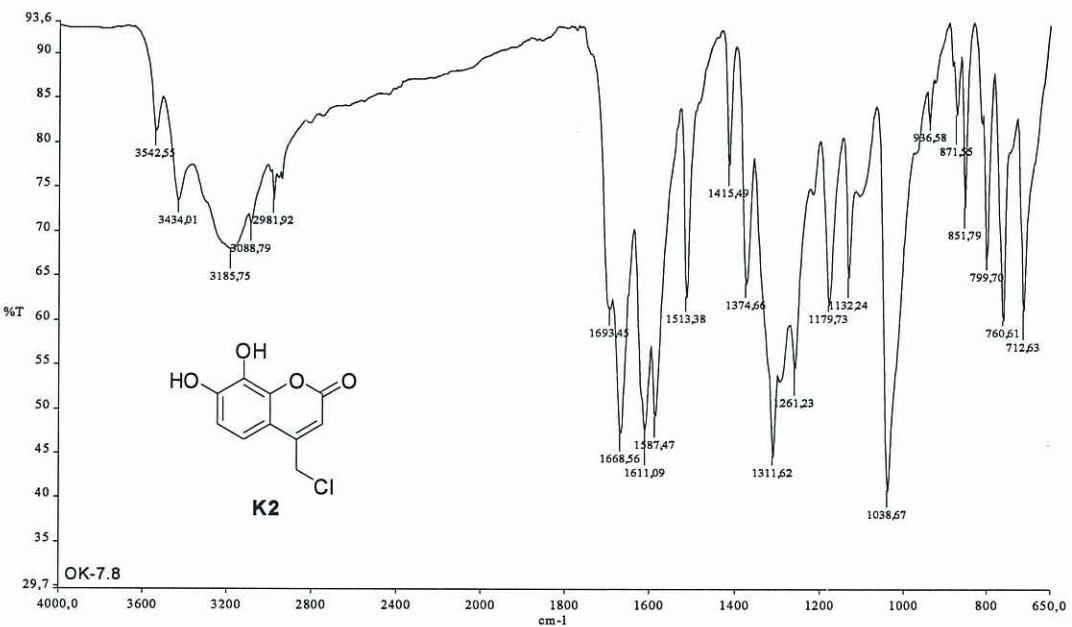
**Şekil 3.3** K1 Bileşığının <sup>13</sup>C-NMR Spektrumu

### 3.2 4-klorometil-7,8-dihidroksi-2H-kromen-2-on ( 4-klorometil-7,8-dihidroksikumarin ) ( K2 ) Bileşığının Spektroskopik Bulguları

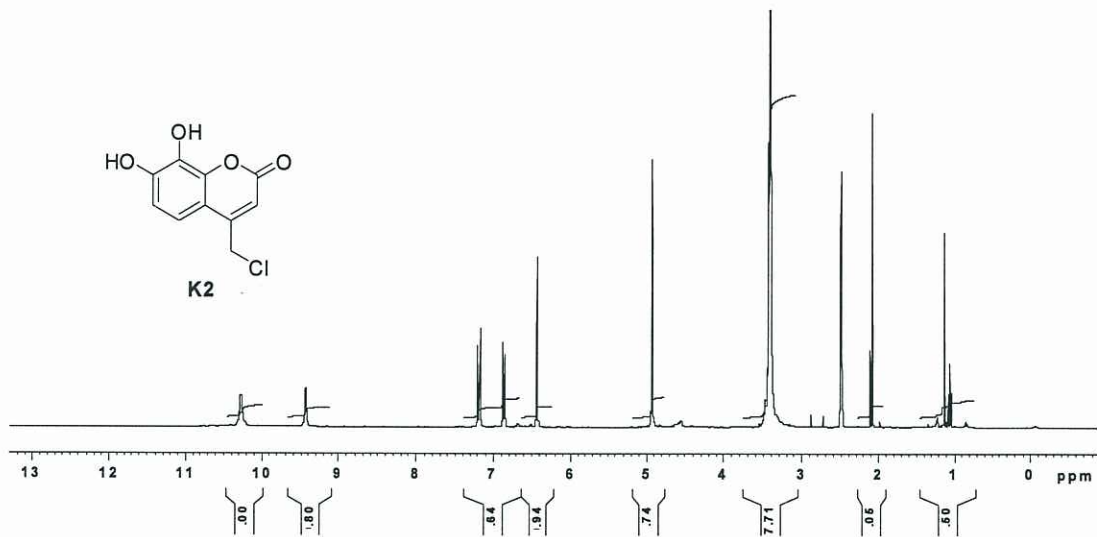
FT-IR ( cm<sup>-1</sup> ) : 3542 ve 3434 ( Ar-OH gerilimi ), 3088 ( aromatik C-H gerilimi ), 1668 ( -C=O gerilimi ), 1611 ( -C=C- gerilimi )

<sup>1</sup>H-NMR ( δ<sub>H</sub>, DMSO-d<sub>6</sub>, 300 MHz, ppm ) : 10.27 ( s, 1H ), 9.40 ( s, 1H ), 7.2-7.17 ( d, J=9 Hz, 1H ), 6.87-6.84 ( d, J= 9 Hz, 1H ), 6.42 ( s, 1H ), 4.93 ( s, 2H )

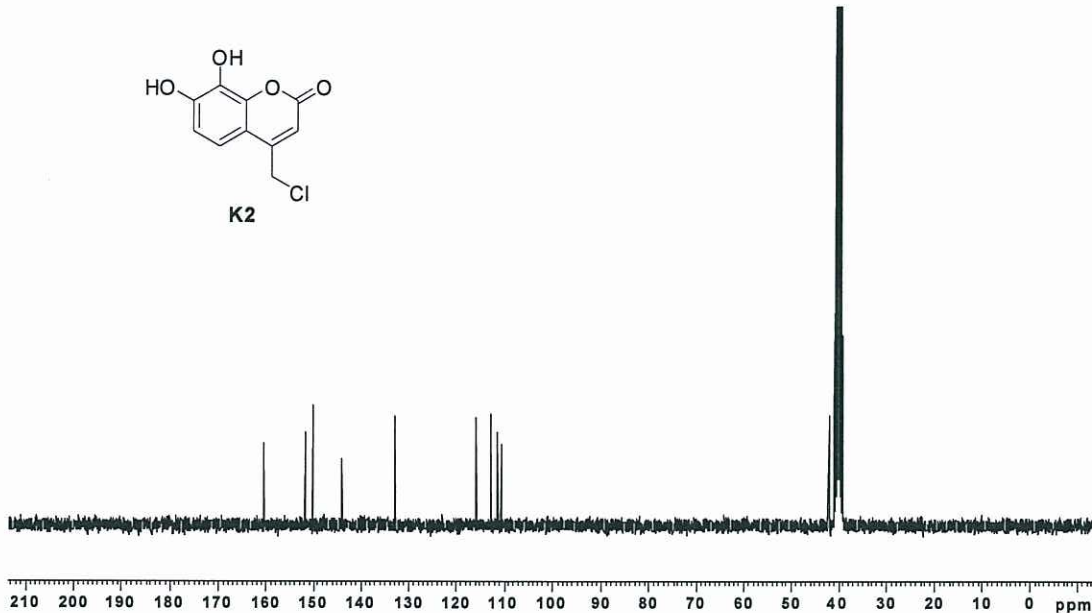
<sup>13</sup>C-NMR ( δ<sub>C</sub>, DMSO-d<sub>6</sub>, 300 MHz, ppm ) : 160.58, 151.87, 150.21, 144.13, 132.90, 115.94, 112.78, 111.41, 110.57, 41.94



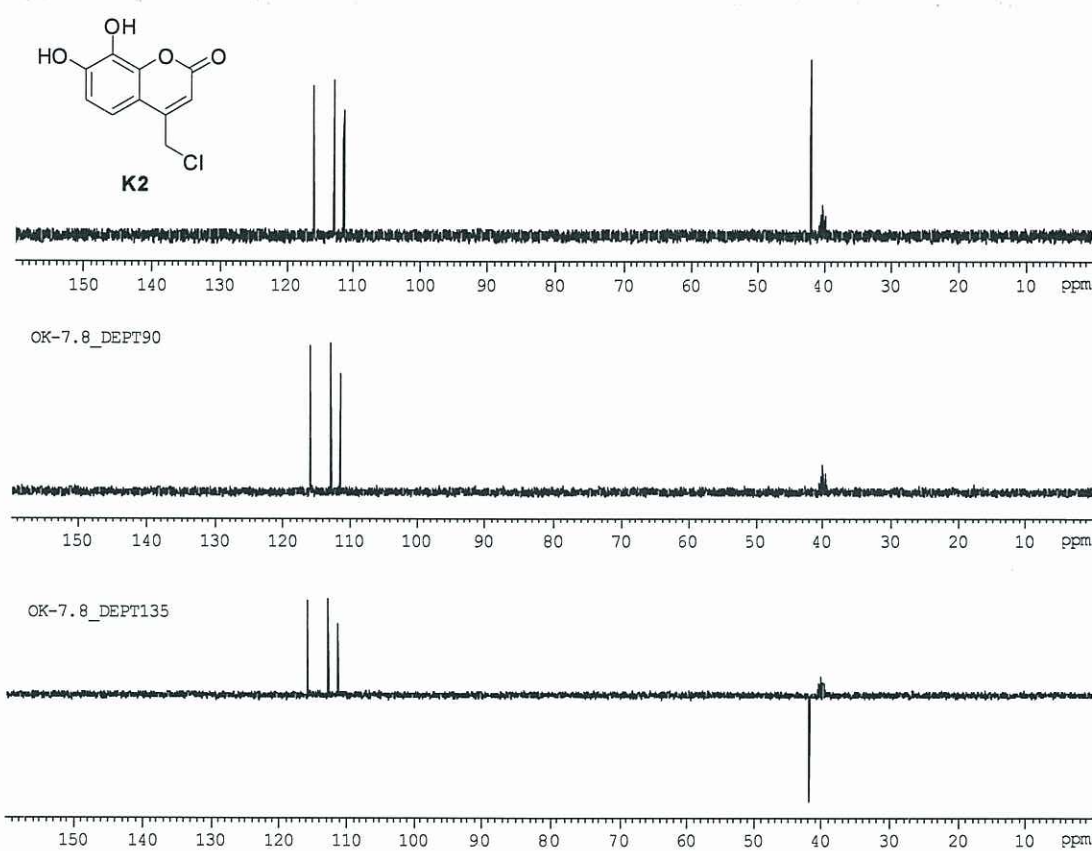
**Şekil 3.4** K2 Bileşигinin FT-IR Spektrumu



**Şekil 3.5** K2 Bileşигinin  $^1\text{H-NMR}$  Spektrumu



**Şekil 3.6** K2 Bileşığının  $^{13}\text{C}$ -NMR Spektrumu



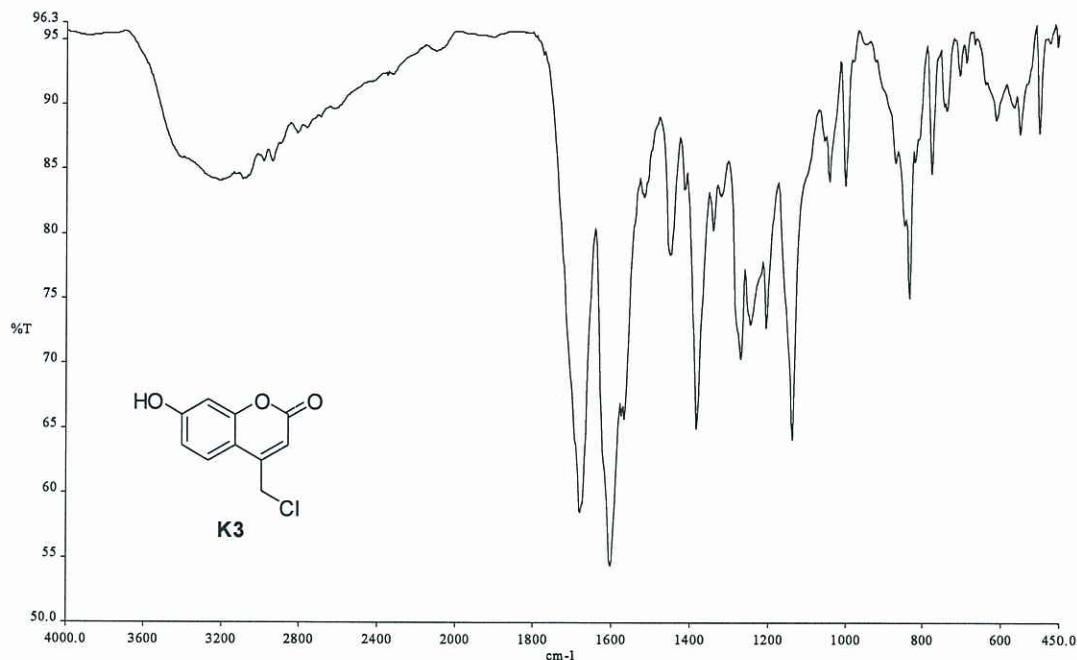
**Şekil 3.7** K2 Bileşığının DEPT Spektrumu

### 3.3 4-klorometil-7-hidroksi-2H-kromen-2-on ( 4-Klorometil-7-hidroksikumarin ) ( K3 ) Bileşığının Spektroskopik Bulguları

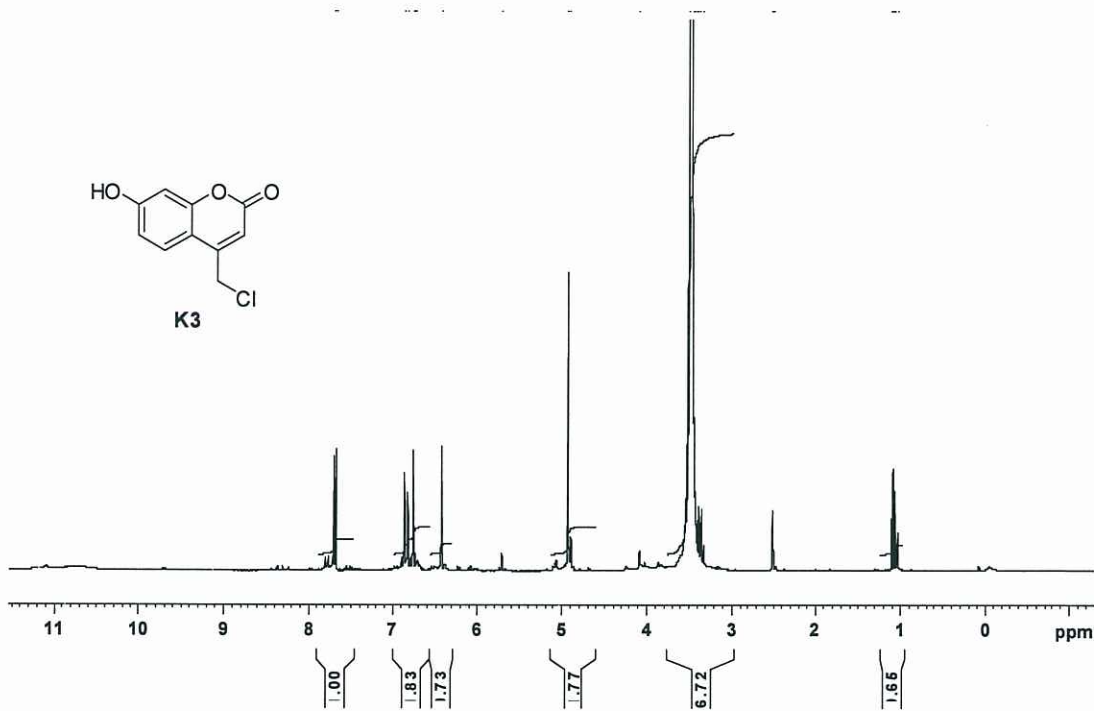
FT-IR ( cm<sup>-1</sup> ) : 3206,63 ( Ar-OH gerilimi ), 1681,91 ( -C=O gerilimi ), 1603,23 ( -C=C- gerilimi )

<sup>1</sup>H-NMR ( δ<sub>H</sub>, DMSO-d<sub>6</sub>, 300 MHz, ppm ) : 7.72-7.11 ( d, 1H ), 6.85 ( d, 1H ), 6.80 ( s, 1H ), 6.40 ( s, 1H ), 4.95 ( s, 2H )

<sup>13</sup>C-NMR ( δ<sub>C</sub>, DMSO-d<sub>6</sub>, 300 MHz, ppm ) : 161.80, 160.64, 155.75, 151.44, 107.01, 114.12, 112.64, 111.51, 109.80, 104.15, 42.5



Şekil 3.8 K3 Bileşığının FT-IR Spektrumu



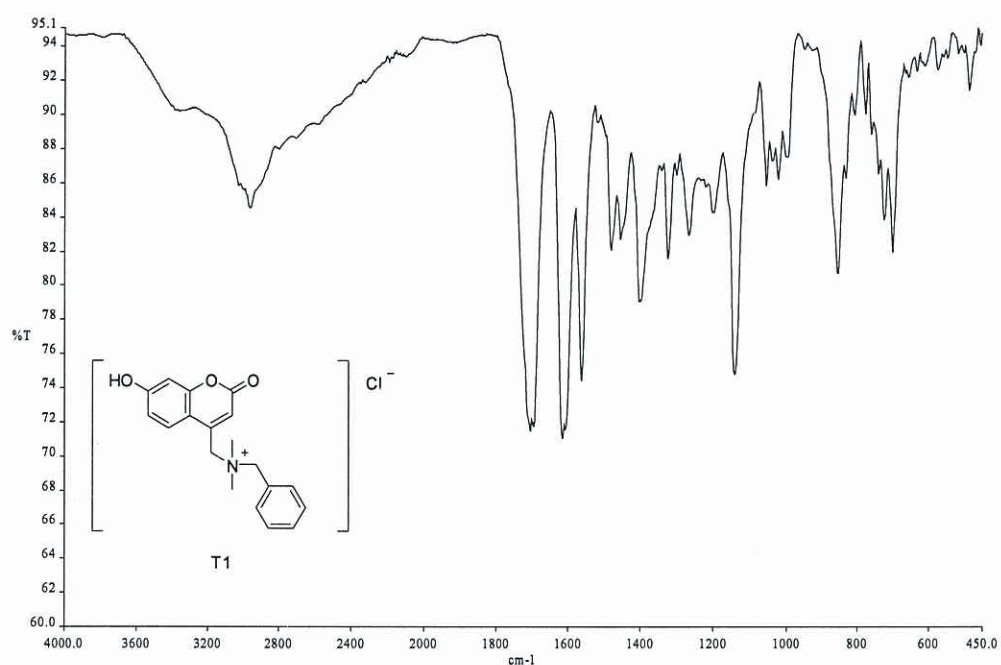
**Şekil 3.9** K3 Bileşığının  $^1\text{H}$ -NMR Spektrumu

### 3.4 N-4-klorometil-7-hidroksi kumarinil-N-benzil-N,N-dimetilamonyum klorür ( T1 ) Bileşığının Spektroskopik Bulguları

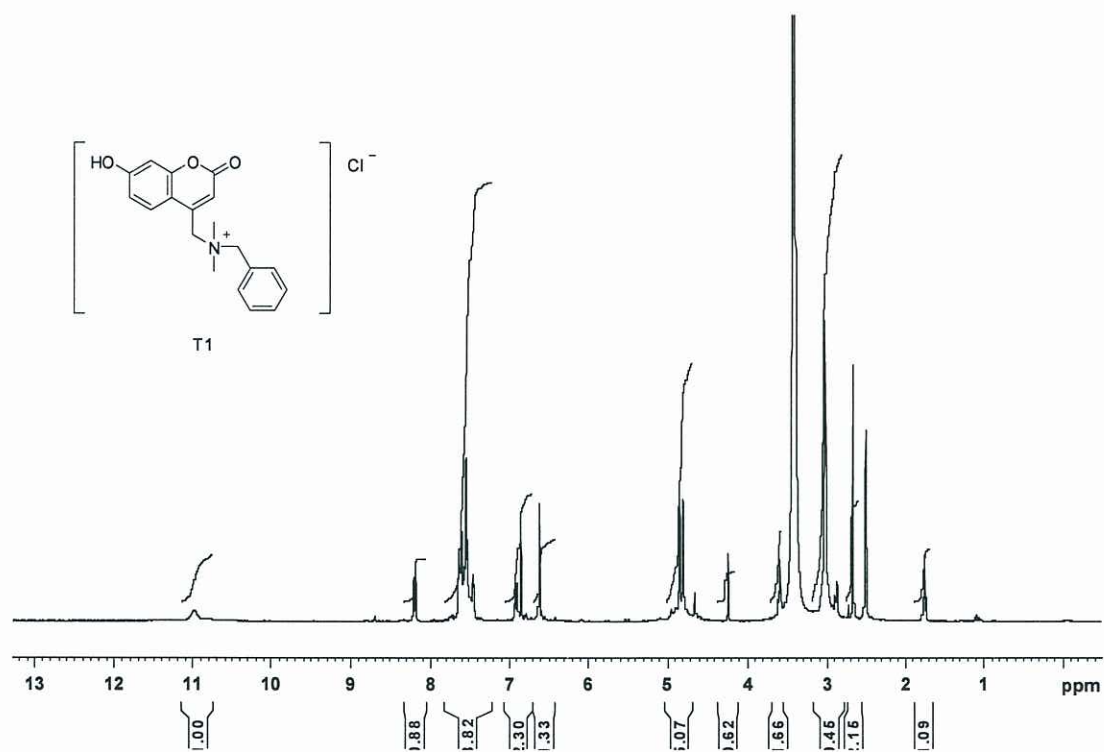
FT-IR (  $\text{cm}^{-1}$  ) : 3357 ( Ar-OH gerilimi ), 3027 ( Aromatik C-H gerilimi ), 2962 ( Alifatik C-H gerilimi ), 1704 ( -C=O gerilimi ), 1615 ( -C=C- gerilimi )

$^1\text{H}$ -NMR (  $\delta_{\text{H}}$ , DMSO- $d_6$ , 300 MHz, ppm ) : 10.99 ( s, 1H ), 8.21-8.18( d,  $J=9 \text{ Hz}$ , 1H ), 7.64-7.45 ( m, 5H ), 6.93-6.92 ( d, 2H ), 6.85 ( s, 1H ), 6.62 ( s, 1H ), 4.86 ( s, 2H ), 4.81 (s, 2H ), 3.03 ( s, 6H )

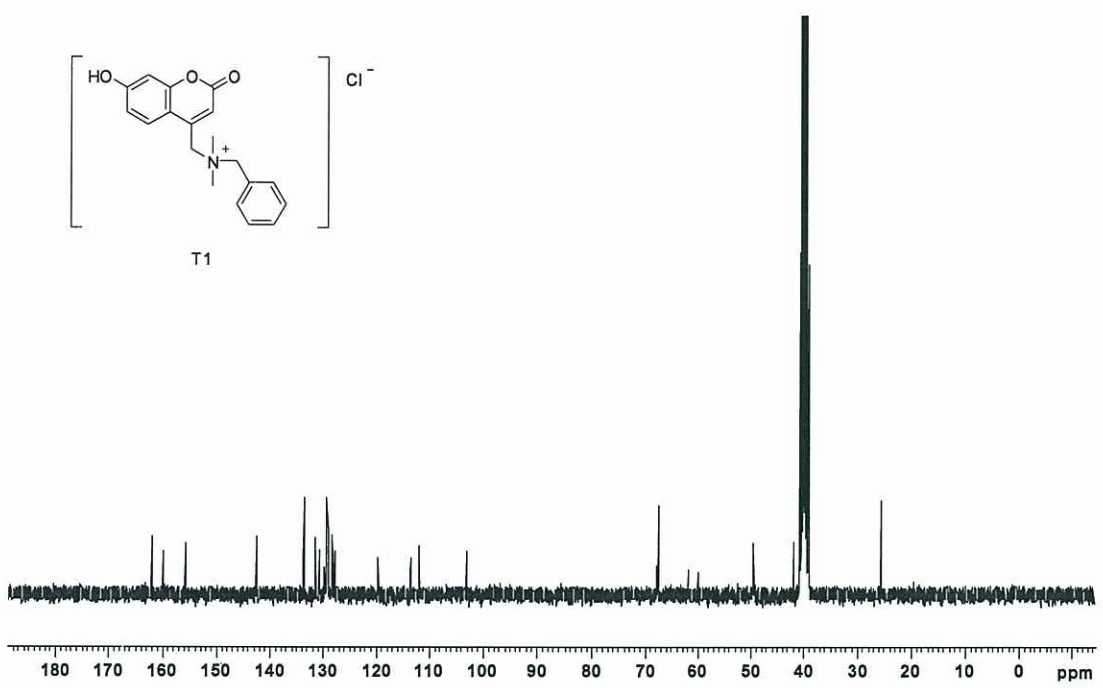
$^{13}\text{C}$ -NMR (  $\delta_{\text{C}}$ , DMSO, 300 MHz, ppm ): 162, 160.08, 155.96, 142.53, 133.7, 131.48, 129.87, 129.38, 129.25 128.36, 113.61, 112, 103.25, 67.48, 61.76, 49.54



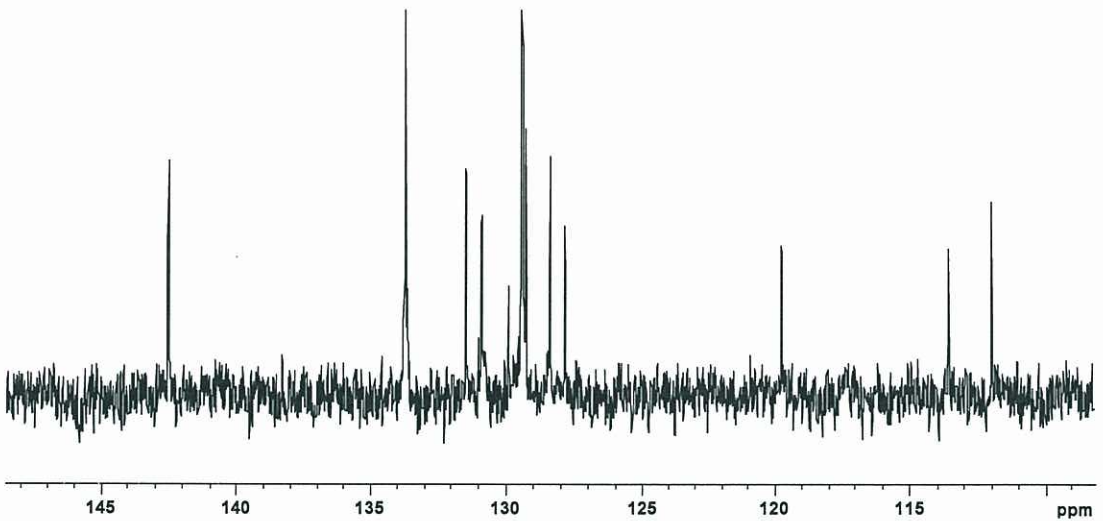
**Şekil 3.10** T1 Bileşığının FT-IR Spektrumu



**Şekil 3.11** T1 Bileşığının <sup>1</sup>H-NMR Spektrumu



**Şekil 3.12 a)** T1 Bileşığının 0-180 ppm aralığında  $^{13}\text{C}$ -NMR Spektrumu



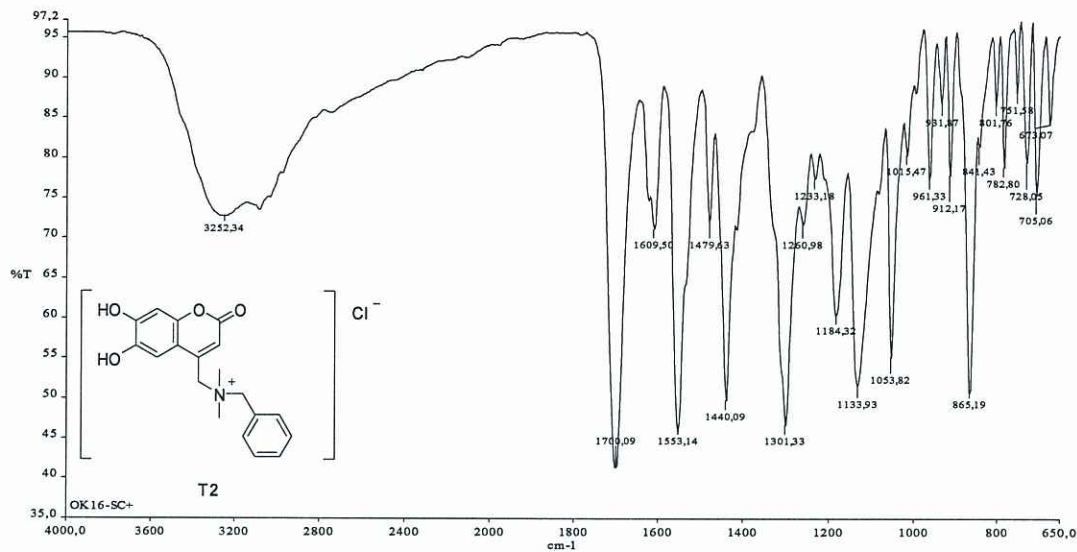
**Şekil 3.12 b)** T1 Bileşığının 110-180 ppm aralığında  $^{13}\text{C}$ -NMR Spektrumu

### 3.5 N-4-klorometil-6,7-dihidroksikumarinil-N-benzil-N,N-dimetilamonyum klorür ( T2 ) Bileşiginin Spektroskopik Bulguları

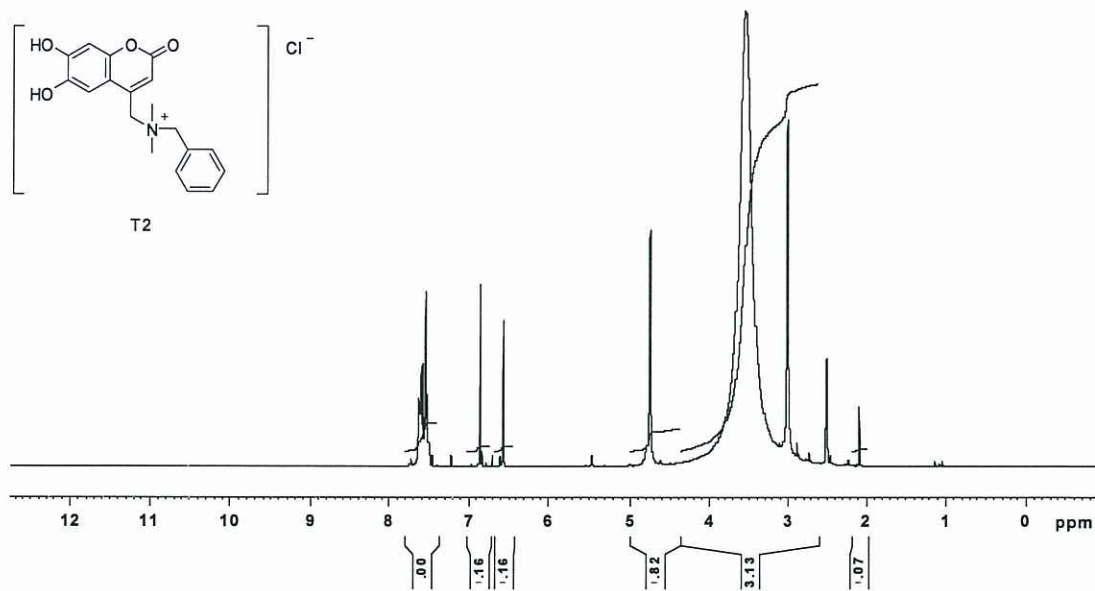
FT-IR (  $\text{cm}^{-1}$  ) : 3252 ( Ar-OH gerilimi ), 1700 ( -C=O gerilimi ), 1609 ( -C=C- gerilimi )

$^1\text{H-NMR}$  (  $\delta_{\text{H}}$ , DMSO- $d_6$ , 300 MHz, ppm ) : 7.63-7.47 ( m, 6H ), 6.87 ( s ), 6.57 ( s, 1H ), 4.76 ( s, 4H ), 3.01 ( s, 6H )

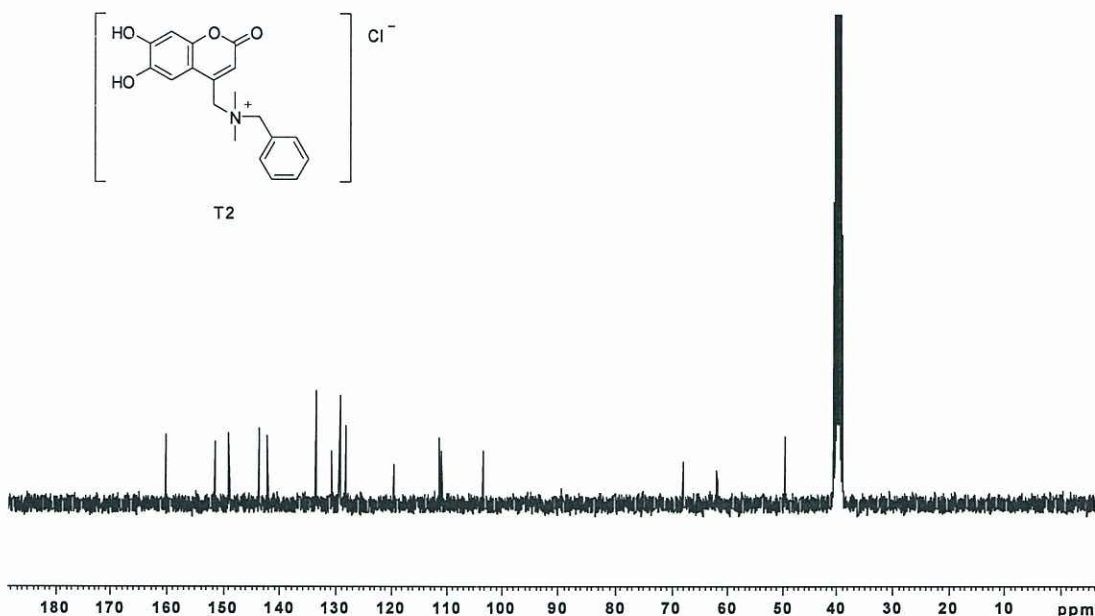
$^{13}\text{C-NMR}$  (  $\delta_{\text{C}}$ , DMSO- $d_6$ , 300 MHz, ppm ) : 160.4, 151.7, 149.12, 143.77, 142.31, 133.72, 130.9, 129.4, 128.28, 119.5, 111.41, 110.95, 103.44, 68.05, 62.04, 49.63



Şekil 3.13 T2 Bileşiginin FT-IR Spektrumu



**Şekil 3.14** T2 Bileşığının  $^1\text{H}$ -NMR Spektrumu



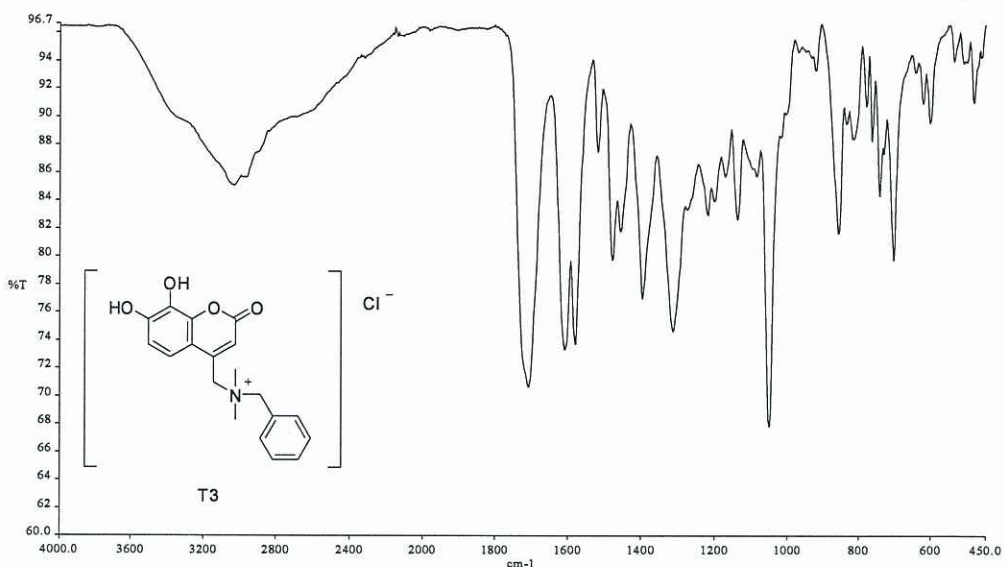
**Şekil 3.15** T2 Bileşığının  $^{13}\text{C}$ -NMR Spektrumu

### 3.6 N-4-klorometil-7,8-dihidroksikumarinil-N-benzil-N,N-dimetilamonyum klorür ( T3 ) Bileşığının Spektroskopik Bulguları

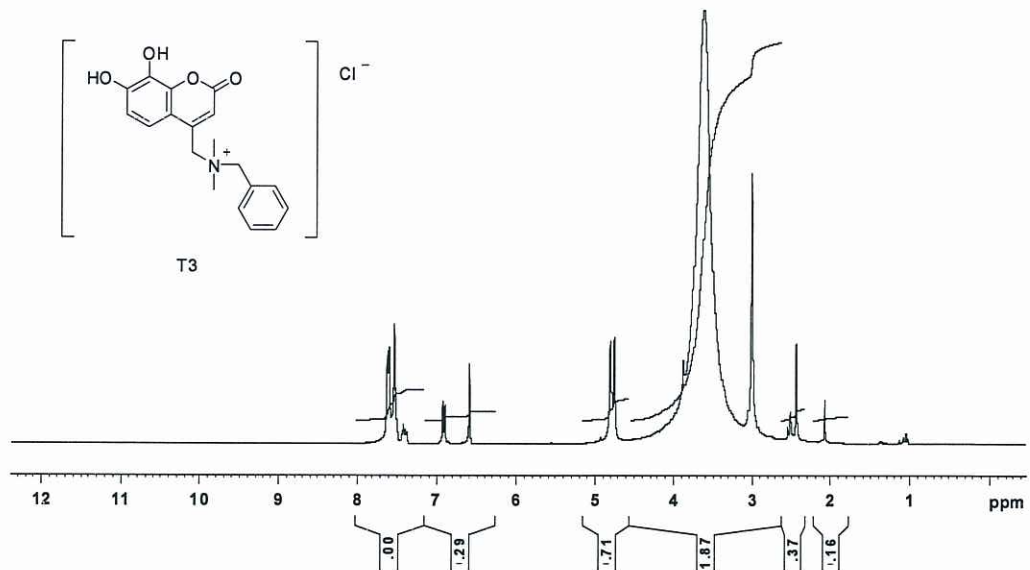
FT-IR ( cm<sup>-1</sup> ) : 3357 ( Ar-OH gerilimi ), 3033 ( aromatik -C-H gerilimi ), 1707 ( -C=O gerilimi ), 1607 ( -C=C- gerilimi )

<sup>1</sup>H-NMR ( δ<sub>H</sub>, DMSO-d<sub>6</sub>, 300 MHz, ppm ) : 7.62-7.38 ( m, 6H ), 6.93-6.90 ( d, J=9 Hz, 1H ), 6.6 ( s ), 4.8 ( s, 2H ), 4.76 ( s, 2H ), 3.01 ( s, 6H ),

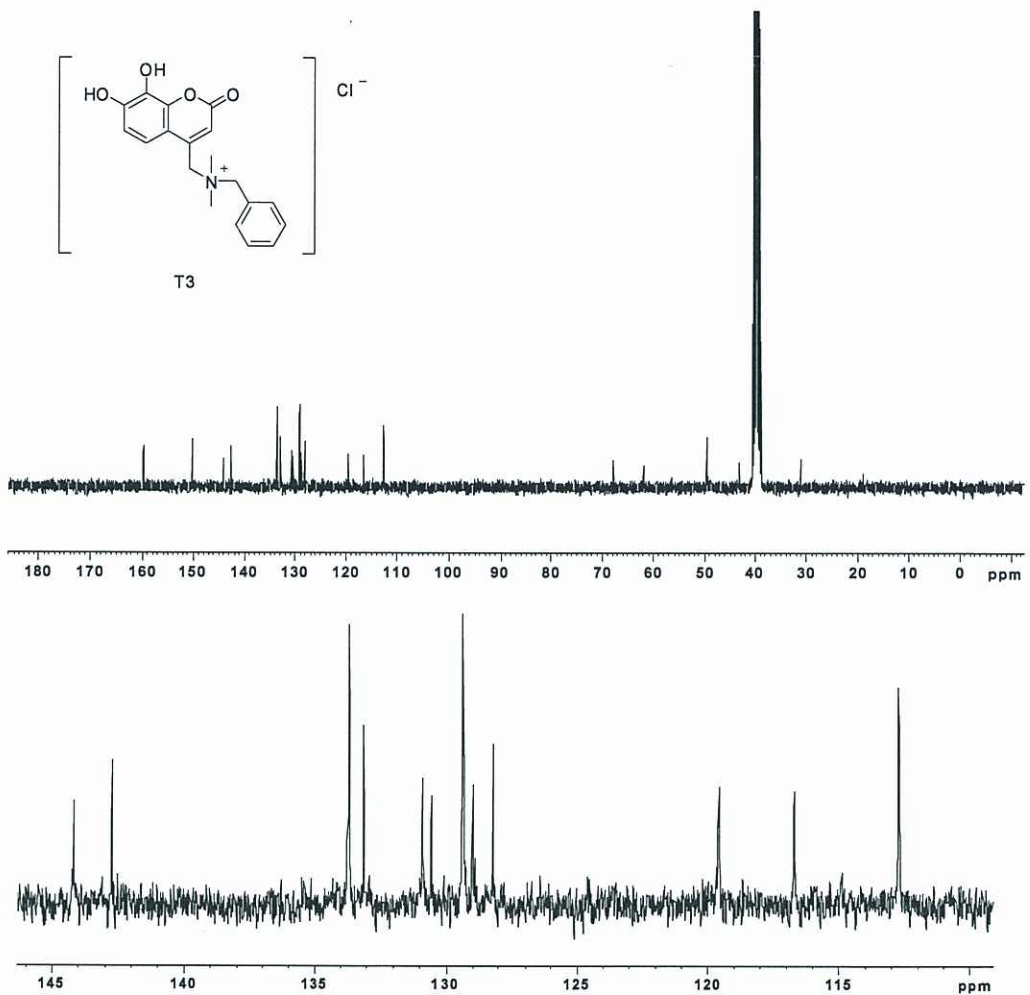
<sup>13</sup>C-NMR ( δ<sub>C</sub>, DMSO-d<sub>6</sub>, 300 MHz, ppm ) : 160.00, 150.32, 144.17, 142.73, 133.71, 133, 130.58, 129.4, 129.02, 128.25, 119.61, 116.73, 122.74, 68, 61.98, 49.61



Şekil 3.16 T3 Bileşığının FT-IR Spektrumu



**Şekil 3.17** T3 Bileşiginin  $^1\text{H}$ -NMR Spektrumu

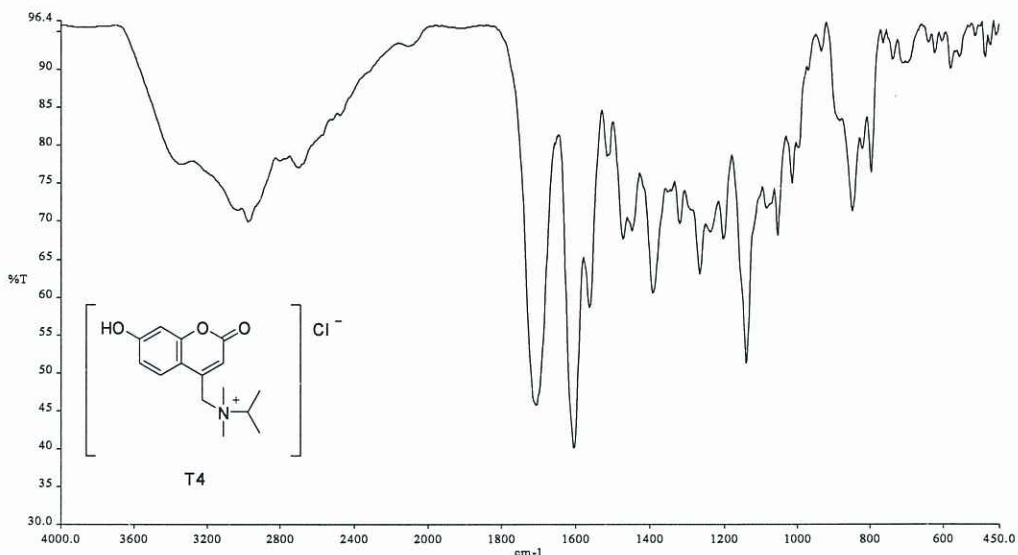


### 3.7 N-4-klorometil-7-hidroksikumarinil-N-izopropil-N,N-dimetilamonyum klorür ( T4 ) Bileşığının Spektroskopik Bulguları

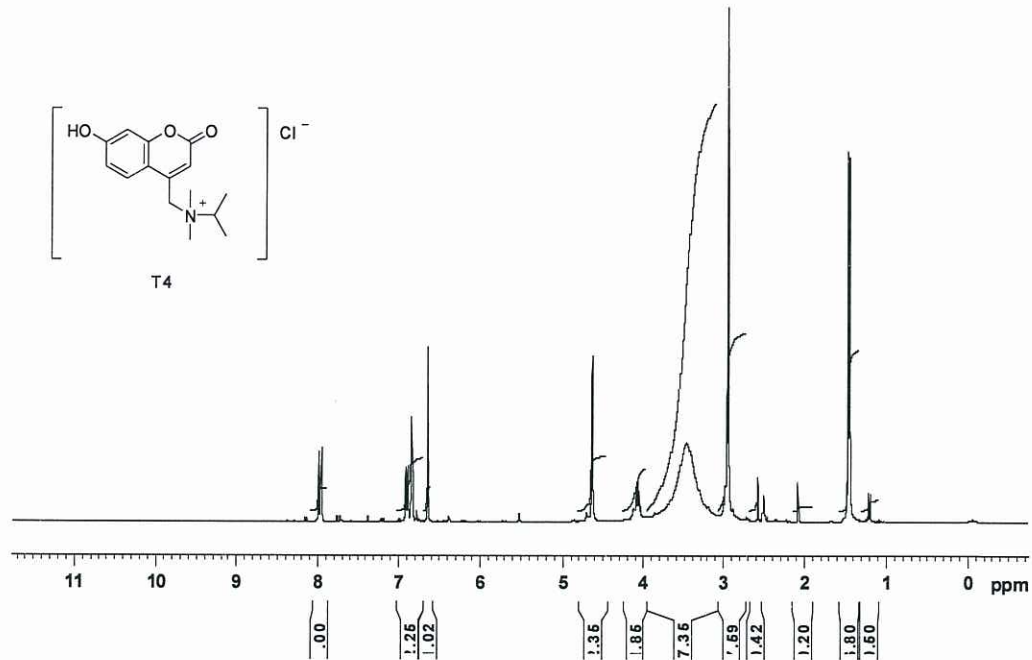
FT-IR ( $\text{cm}^{-1}$ ) : 3346 ( Ar-OH gerilimi ), 3027 ( Aromatik C-H gerilimi ), 2980 ( Alifatik C-H gerilimi ), 1705 ( -C=O gerilimi ), 1605 ( -C=C- gerilimi )

$^1\text{H-NMR}$  (  $\delta_{\text{H}}$ , DMSO-d<sub>6</sub>, 300 MHz, ppm ): 7.99-7.96( d,  $J=9$  Hz, 1H ), 6.93-6.89 ( d, 1H ), 6.849 ( s, 1H ), 6.64 ( s, 1H ), 4.64 ( s, 2H ), 4.112-4.036 ( heptet,  $J=6$  Hz, 1H ), 2.96 ( s, 6H ), 1.47-1.45 ( d,  $J=6$  Hz, 6H )

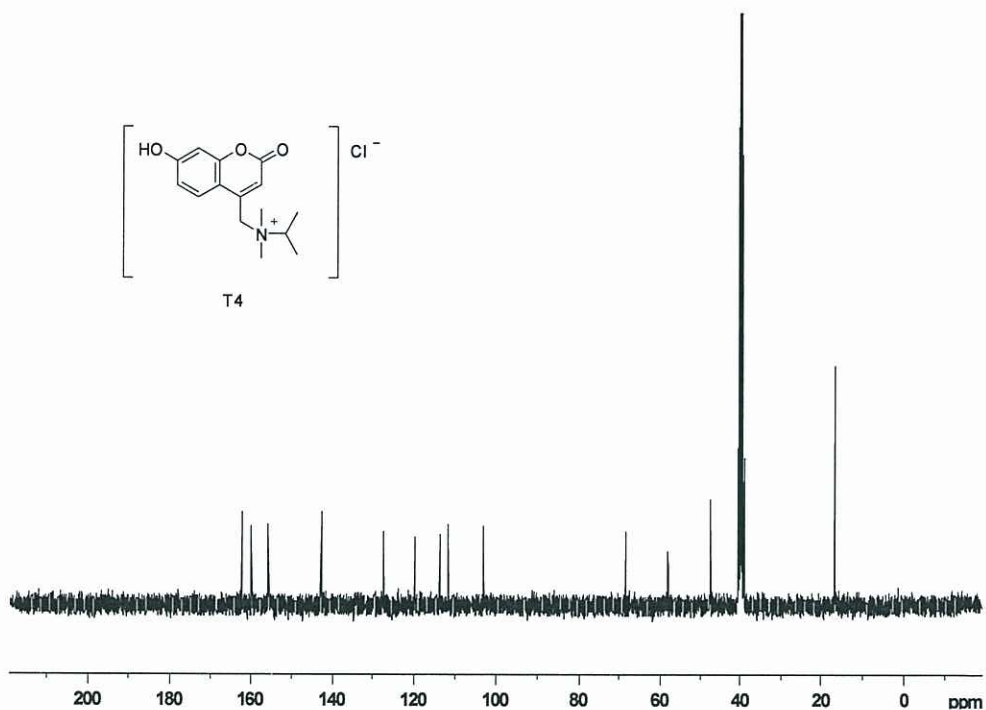
$^{13}\text{C-NMR}$  (  $\delta_{\text{C}}$ , DMSO-d<sub>6</sub>, 300 MHz, ppm ) : 162.32, 160.04, 155.87, 142.77, 127.67, 119.69, 113.7, 111.81, 103.25, 68.51, 58.18, 47.56



Şekil 3.19 T4 Bileşığının FT-IR Spektrumu



**Şekil 3.20** T4 Bileşinin  $^1\text{H}$ -NMR Spektrumu



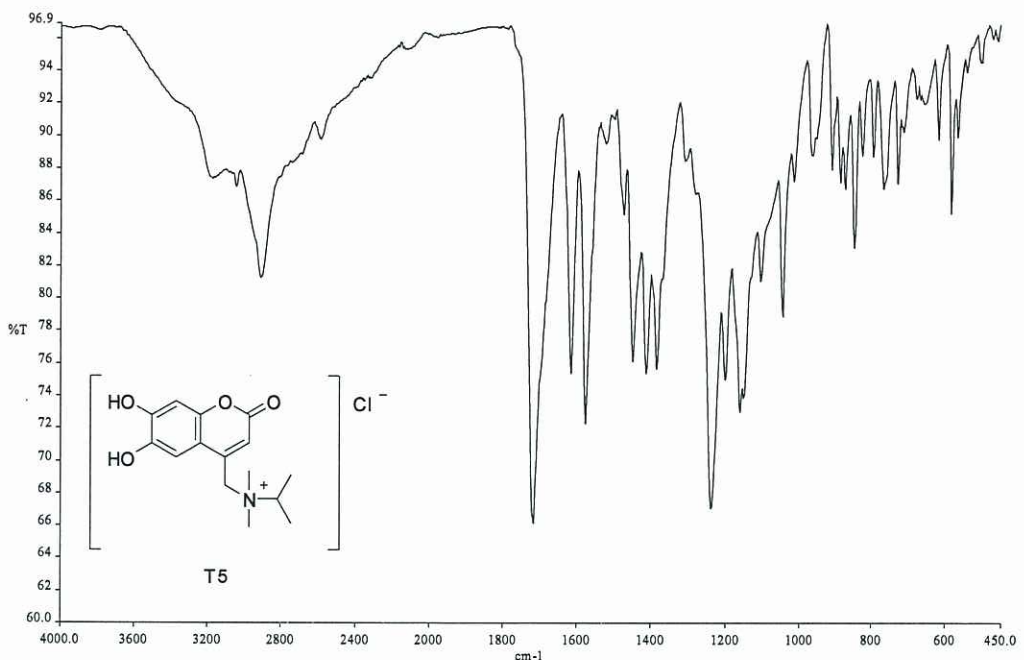
**Şekil 3.21** T4 Bileşinin  $^{13}\text{C}$ -NMR Spektrumu

### 3.8 N-4-klorometil-6,7-dihidroksikumarinil-N-izopropil-N,N-dimetilamonyum klorür ( T5 ) Bileşiğinin Spektroskopik Bulguları

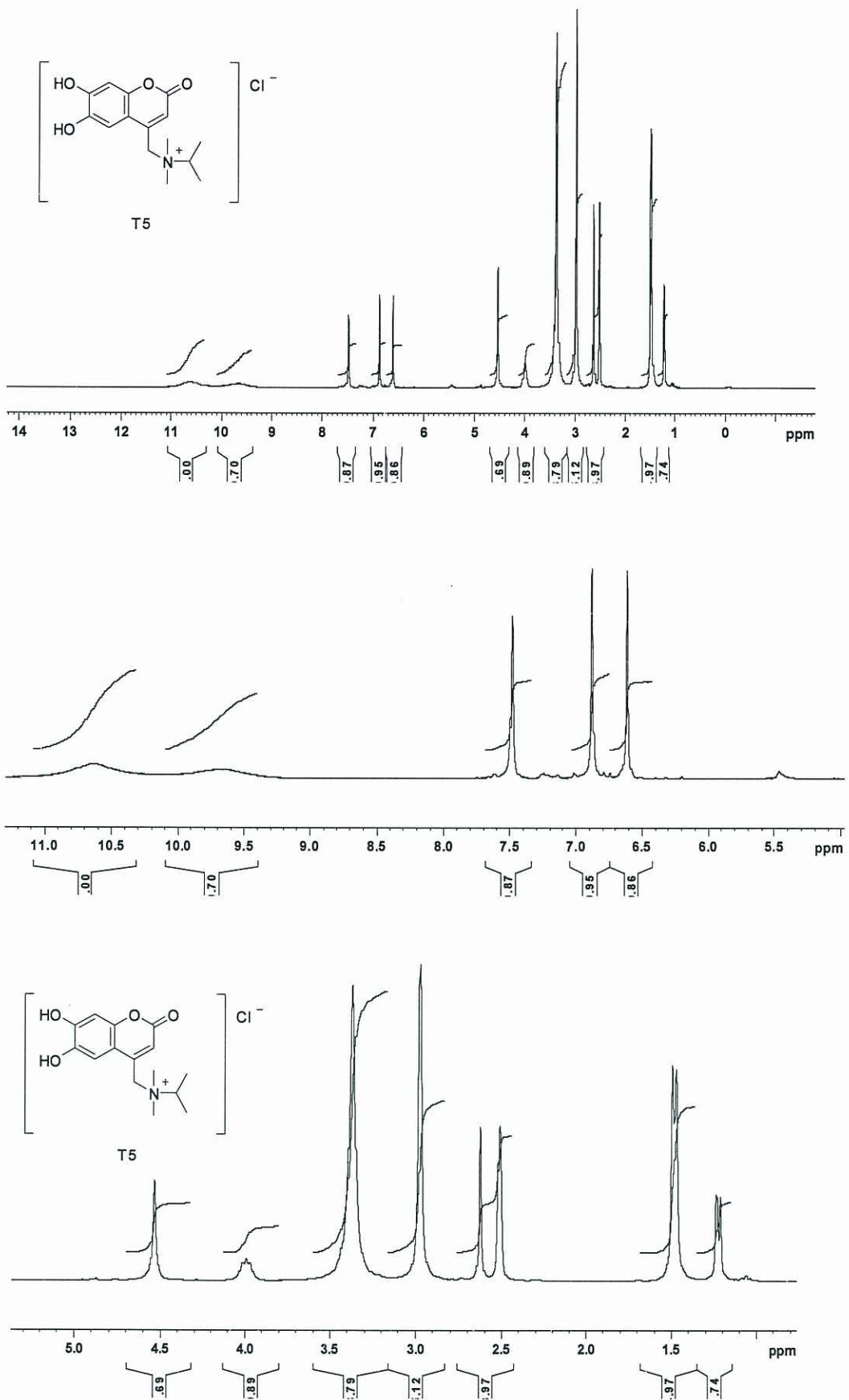
FT-IR ( $\text{cm}^{-1}$ ) : 3335 ( Ar-OH gerilimi ), 3043 ( Aromatik C-H gerilimi ), 2913 ( Alifatik C-H gerilimi ), 1717 ( -C=O gerilimi ), 1614 ( -C=C- gerilimi )

$^1\text{H-NMR}$  (  $\delta_{\text{H}}$ , DMSO- $d_6$ , 300 MHz, ppm ) : 10.63 ( s, 1H ), 9.68 ( s, 1H ), 7.49 ( s, 1H ), 6.881 ( s, 1H ), 6.62 ( s, 1H ), 4.537 ( s, 2H ), 4.01-3.98 ( heptet,  $J=6$  Hz, 1H ), 2.977 ( s, 6H ), 1.494-1.474 ( d,  $J=6$  Hz, 6H )

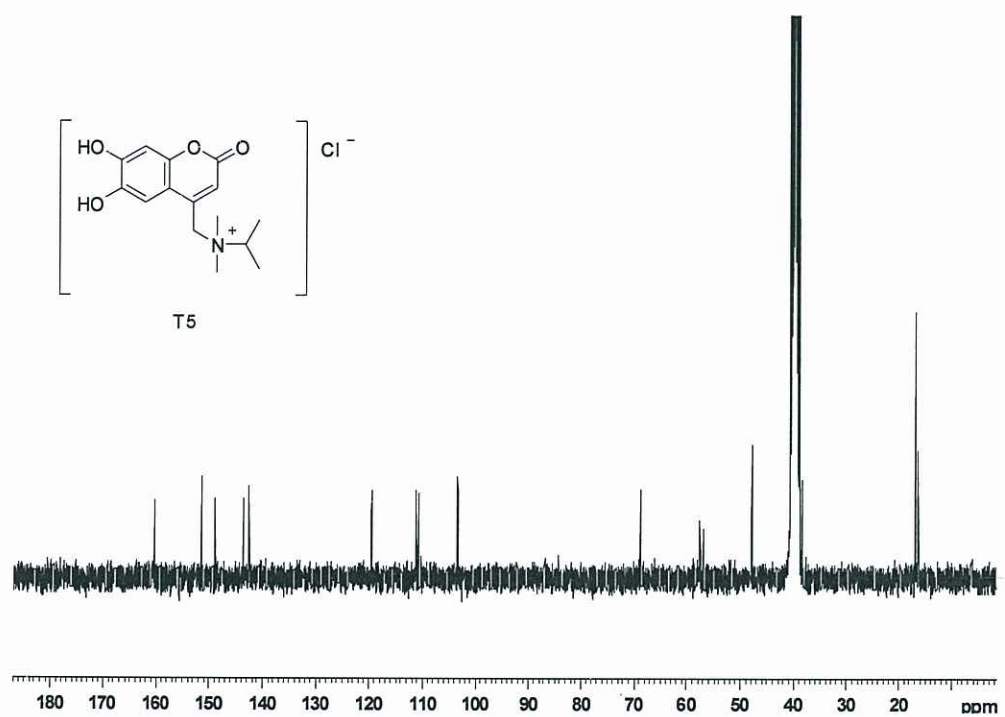
$^{13}\text{C-NMR}$  (  $\delta_{\text{C}}$ , DMSO- $d_6$ , 300 MHz, ppm ) : 160.3, 151.33, 148.88, 143.65, 142.48, 119.7, 111.37, 110.83, 103.62, 68.86, 57.77, 48.07, 16.94



Şekil 3.22 T5 Bileşiğinin FT-IR Spektrumu



**Şekil 3.23** T5 Bileşinin <sup>1</sup>H-NMR Spektrumu



**Şekil 3.24** T5 Bileşininin  $^{13}\text{C}$ -NMR Spektrumu

### **3.9 Antimikrobiyal Sonuçlar**

Kullanılan bakteri, mantar ve minimal inhibisyon konsantrasyonu ( MIK ) (  $\mu\text{g/mL}$  ) sonuçları aşağıda Tablo 3.1 de verilmiştir.

**Tablo 3.1** Sentezlenen bileşiklerin antimikrobiyal aktivite sonuçları ( MIK- $\mu\text{g/mL}$  )

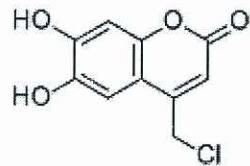
	<i>Escherichia coli</i>	<i>Staphylococcus aureus</i>	<i>Enterococcus faecalis</i>	<i>Pseudomonas aeruginosa</i>	<i>Candida albicans</i>	<i>Candida tropicalis</i>
<b>K1</b>	800	400	800	800	400	400
<b>K2</b>	400	400	800	800	400	400
<b>K3</b>	-	800	800	800	800	800
<b>T1</b>	-	-	-	800	800	800
<b>T2</b>	-	-	800	800	800	800
<b>T3</b>	800	800	400	800	400	400
<b>T4</b>	-	-	-	-	800	800
<b>Ampicillin</b>	3.12	3.12	1.56	-	-	-
<b>Ciprofloxacin</b>	1.56	0.39	0.78	3.12	-	-
<b>Fluconazole</b>	-	-	-	-	3.12	3.12

#### **4. SONUÇ VE TARTIŞMA**

Bu çalışmada 4-klorometil hidroksi kumarinler ile tersiyer aminler etkileştirilerek kumarin kuaterner amonyum tuzları sentezlenmiştir. Öncelikle Pechamann kondenzasyonu ile 4-klorometil-6,7-dihidroksikumarin ( K1 ), 4-klorometil-7,8-dihidroksikumarin ( K2 ) ve 4-klorometil-7-hidroksikumarin ( K3 ) bileşikleri sentezlenmiştir.

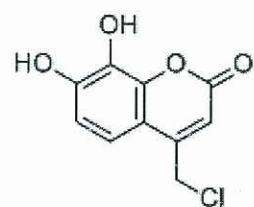
Elde edilen ürünlerin yapıları FT-IR,  $^1\text{H-NMR}$ ,  $^{13}\text{C-NMR}$  spektroskopik teknikler ile aydınlatılmıştır. Elde edilen ürünlerin NMR spektrumları çözücü olarak DMSO- $d_6$  kullanılarak alınmıştır.

4-klorometil-6,7-dihidroksikumarin ( K1 ) bileşığının Şekil 3.2' de  $^1\text{H-NMR}$  spektrumu görülmektedir. Bu spektrum incelendiğinde; 7.12 ve 6.79 ppm'de aromatik protonlar singlet halde ( kumarin 5 ve 8 konumuna ait protonlar ), 6.4 ppm'de olefinik proton ( kumarin 3 konumuna ait ) singlet ve 4.9 ppm'de ise metilen protonları yine singlet halde gözlenmiştir. 4.9 ppm' de gözlenen metilen protonları 2 eşdeğer protondur ve bu spektrumun integral değerleri ile uyumludur. 9.51 ve 10.45 ppm'de yayvan -OH protonu pikleri görülmektedir. Yine ürünün Şekil 3.3'de verilen  $^{13}\text{C-NMR}$  spektrumu incelendiğinde 151.2 ppm'de kumarin halkasında 2 konumundaki karbon atomu görülmektedir. 42 ppm'de ise metilen karbonu görülmektedir. Metilenklorür grubunun bağlı olduğu 4 konumundaki olefinik karbon atomu metilen klorür grubunun elektron çekici özelliğinden dolayı 151.05 ppm'de pik vererek daha düşük alana kaymıştır. Bunun yanında spektrum incelendiğinde bekleniği gibi 10 farklı karbon atomu gözlenmiştir. 4-klorometil-6,7-dihidroksi kumarin ( K1 ) bileşığının Şekil 3.1'de FT-IR spektrumu verilmiştir. Molekülün FT-IR spektrumu incelendiğinde gözlenen  $3285 \text{ cm}^{-1}$  -OH piki,  $3101 \text{ cm}^{-1}$  de ve  $1819 \text{ cm}^{-1}$  de aromatiklik piki,  $1656 \text{ cm}^{-1}$  de  $-\text{C=O}$  ve  $1617 \text{ cm}^{-1}$  de  $-\text{C=C-}$  pikleri yapıyı desteklemektedir.



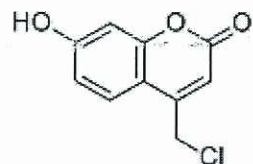
4-klorometil-6,7-dihidroksi kumarin ( K1 )

4-klorometil-7,8-dihidroksi kumarin ( K2 ) bileşığının  $^1\text{H-NMR}$  spektrumu Şekil 3.5' de görülmektedir. Ürünün  $^1\text{H-NMR}$  spektrumu incelendiğinde 7.2-7.17 ve 6.87-6.84 ppm'de iki tane dublet görülmektedir. Bu iki pik 5 ve 6 konumundaki karbonlara bağlı protonlar olup  $J$  değerleri 9 Hz' dir ve bu komşu iki proton olduğunu doğrulamaktadır. Bunun yanında 6.42 ppm' de singlet olefinik proton görülmektedir. Yine 4.93 ppm'de metilen protonları görülmekte ve eşdeğer olan iki proton ile spektrumun integrasyon değerleri uyum göstermektedir. 10.27 ve 9.40 ppm'de yayvan -OH protonu pikleri görülmektedir. Ürünün Şekil 3.6'da verilen  $^{13}\text{C-NMR}$  spektrumu incelendiğinde 160.58 ppm'de 2 nolu karbonil karbonu, bunun yanında 151.87 ppm'de 4 nolu karbon atomu, ve 41.94 ppm'de metilen karbonu görülmektedir.  $^{13}\text{C-NMR}$  spektrumunda moleküldeki farklı karbon sayısı olan 10 tane pik gözlenmiştir. Ürünün Şekil 3.4'de verilen FT-IR spektrumu incelendiğinde  $3542 \text{ cm}^{-1}$  ve  $3434 \text{ cm}^{-1}$  ' de -OH piki,  $3088 \text{ cm}^{-1}$ ,de aromatiklik ,  $1668 \text{ cm}^{-1}$ , de -C=O piki,  $1611 \text{ cm}^{-1}$ ,de -C=C- piki görülmektedir ve bu pikler yapıyı desteklemektedir.



4-klorometil-7,8-dihidroksi kumarin ( K2 )

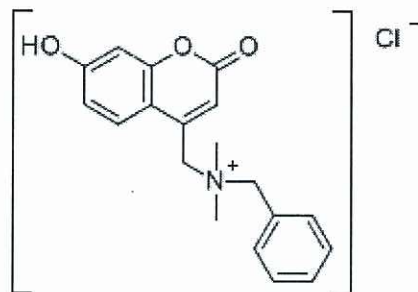
4-klorometil-7-hidroksi kumarin ( K3 ) bileşığının  $^1\text{H-NMR}$  spektrumu Şekil 3.9' da verilmiştir. Ürünün  $^1\text{H-NMR}$  spektrumu incelendiğinde 6,42 ppm' de 3 numaralı karbon atomuna bağlı olefinik proton piki görülmektedir. 7,69-7,66 ppm'de dublet, 6.75-6.86 ppm arasında iki aromatik proton moleküldeki 3 aromatik proton ile uyum göstermektedir. 4.95 ppm'de metilen protonları görülmektedir ve 2 eşdeğer proton spektrumdaki integrasyon değeri ile uyum göstermektedir. Ürünün  $^{13}\text{C-NMR}$  spektrumu incelendiğinde 161.8 ppm'de 2 konumudaki karbonil karbonu, 160.64 ppm'de 4 konumunda metilen grubunun bağlı olduğu karbon ve 42.5 ppm'de metilen karbonu görülmektedir. Bunun yanında ürünün FT-IR spektrumu ( Şekil 3.8 ) incelendiğinde  $3206\text{ cm}^{-1}$  de  $-\text{OH}$  piki,  $1682\text{ cm}^{-1}$ , de  $\text{C=O}$  piki ve  $1603\text{ ppm}$ ' de  $\text{C=C}$  pikleri görülmektedir ve bu pikler yapıyı desteklemektedir.



4-klorometil-7-hidroksi kumarin ( K3 )

Yukarıda spektrum değerleri verilen ve Şekil 2.2, Şekil 2.3 ve Şekil 2.4'te verilen reaksiyonlara göre sentezlenen kumarin bileşikleri N,N-dimetil benzilamin, N,N-dimetil izopropilamin ile etkileştirilerek N-4-klorometil-7-hidroksi kumarinil, N-benzil,N,N-dimetil amonyum klorür ( T1 ), N-4-klorometil-6,7-dihidroksi kumarinil, N-benzil, N,N-dimetil amonyum klorür ( T2 ), N-4-klorometil-7,8-dihidroksi kumarinil,N-Benzil,N,N-dimetil amonyum klorür ( T3 ), N-4-klorometil-7-hidroksi kumarinil,N-izopropil,N,N-dimetil amonyum klorür ( T4 ), N-4-klorometil-6,7-dihidroksi kumarinil,N- izopropil, N,N-dimetil amonyum klorür ( T5 ) bileşikleri sentezlenmiştir.

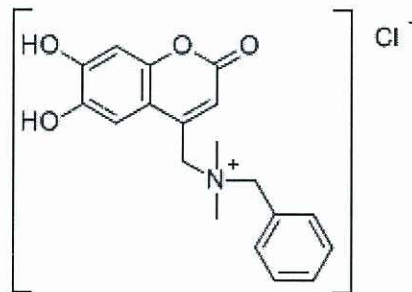
*N*-4-klorometil-7-hidroksi kumarinil, *N*-benzil, *N,N*-dimetil amonyum Klorür ( T1 ) bileşığının  $^1\text{H-NMR}$  Spektrumu Şekil 3.11' de verilmiştir. Ürünün  $^1\text{H-NMR}$  spektrumu incelendiğinde 10.99 ppm' de yayvan –OH protonu piki görülmektedir. 8.21-6.86 ppm aralığında molekülde bulunan aromatik protonlar görülmektedir ve spektrumun integrasyon değeri ile uyumludur. 6.62 ppm'de olefinik proton görülmektedir ve 4-klorometil-7-hidroksikumarin bileşигine göre ( 6.42 ) daha düşük alana kaydiği gözlenmiştir. 4.86 ppm ve 4.81 ppm değerlerinde metilen ve benzilik protonlar yan yana gözlenmektedir. 3.03 ppm de singlet halde –CH<sub>3</sub> protonları gözlenmektedir. Ürünün  $^{13}\text{C-NMR}$  spektrumu Şekil 3.12' de verilmiştir ve spektrum incelendiğinde 67.48 ppm'de benzil karbonu görülmektedir. 61 ppm'de azot atomuna bağlanarak daha düşük alana kayan metilen karbonu gözlenmektedir. Bunun yanında yine kumarin halkasının 2 konumundaki karbon atomu 162 ppm'de gözlenmiştir. Molekülün FT-IR spektrumu ( Şekil 3.10 ) incelendiğinde 4-klorometil-7-hidroksi kumarine göre çok daha belirgin bir şekilde 2962 cm<sup>-1</sup>,de C-H gerilim piki gözlenmektedir. Yine 4-klorometil-7-hidroksi kumarin spektrumunda 1681 cm<sup>-1</sup>,de gözlenen C=O piki 1704.92 cm<sup>-1</sup>,de gözlenmektedir ve 3300 cm<sup>-1</sup>,de –OH piki gözlenmektedir.



*N*-4-klorometil-7-hidroksi kumarinil, *N*-benzil, *N,N*-dimetil amonyum klorür ( T1 )

*N*-4-klorometil-6,7-dihidroksi kumarinil, *N*-benzil, *N,N*-dimetil amonyum klorür ( T2 ) bileşığının  $^1\text{H-NMR}$  spektrumu ( Şekil 3.14 ) incelendiğinde 7.74-7.47 ppm aralığında multiplet şeklinde aromatik protonları görülmektedir. Yine 6.57

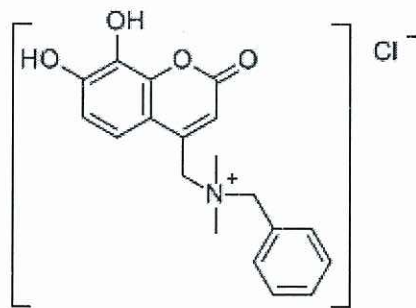
ppm'de olefinik proton singlet halde gözlenmektedir ve 4-klorometil-6,7-dihidroksi kumarine göre ( 6.4 ppm ) daha düşük alana kaymıştır. 4.76 ppm değerinde spektrumun integrasyon değerleri incelendiğinde 4 protona denk gelen singlet bir pik görülmektedir. Bu pikin birbirine yakın değerlerde pik veren metilen ve benzilik protonların çakışarak verdığını düşünmektedir. Bunun yanında 3.01 ppm' de  $-\text{CH}_3$  protonları görülmektedir. Ürünün  $^{13}\text{C}$ -NMR spektrumu ( Şekil 3.15 ) incelendiğinde 68 ppm'de benzil karbonu, yine 62 ppm' de azot atomu bağlandıktan sonra daha düşük alana kayan metilen karbonu görülmektedir. Yine 49.6 ppm' de azot atomuna bağlı  $-\text{CH}_3$  karbonu görülmektedir. Bunun yanında molekülün yapısı incelendiğinde 16 farklı karbon atomu olduğu görülmektedir ve spektrumda 16 karbon atomu görülmüştür. Ürünün FT-IR ( Şekil 3.13 ) spektrumu incelendiğinde  $3252\text{ cm}^{-1}$ , de  $-\text{OH}$  piki,  $1700\text{ cm}^{-1}$ , de  $-\text{C=O}$  piki,  $1610\text{ cm}^{-1}$ de  $-\text{C=C-}$  pikleri görülmektedir ve bu değerler yapıyı desteklemektedir.



*N*-4-klorometil-6,7-dihidroksi kumarinil, *N*-benzil, *N,N*-dimetil amonyum klorür ( T2 )

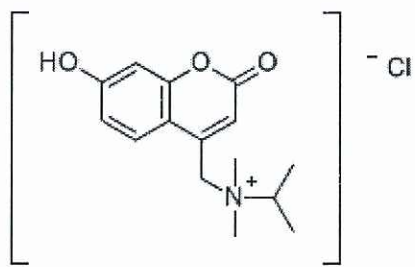
*N*-4-klorometil-7,8-dihidroksi kumarinil,*N*-benzil, *N,N*-dimetil amonyum klorür ( T3 ) bileşininin  $^1\text{H}$ -NMR spektrumu ( Şekil 3.17 ) incelendiğinde 7.62-6.90 ppm aralığında multiplet şeklinde aromatik protonları görülmektedir. 6.6 ppm' de singlet olefinik proton görülmektedir ve bu değer yine 4-klorometil-7,8-dihidroksi kumarin bileşliğinde görülen olefinik proton pikine ( 6.42 ppm ) göre daha düşük alanda çıkmıştır. 4.8 ppm ve 4.76 ppm' de iki ayrı singlet halinde benzilik ve metilen protonları görülmektedir. Yine 3.01 ppm'de  $-\text{CH}_3$  protonları gözlenmektedir.

Ürünün  $^{13}\text{C}$ -NMR spektrumu ( Şekil 3.18 ) incelendiğinde 68 ppm'de benzilik ve 62 ppm'de metilen karbonları görülmektedir. Azot atomuna bağlı olan  $-\text{CH}_3$  grubu karbonu 50 ppm'de görülmektedir. Molekülün FT-IR spektrumunda gözlenen ( Şekil 3.16 )  $3357\text{ cm}^{-1}$   $-\text{OH}$  piki,  $3033\text{ cm}^{-1}$  aromatik C-H piki,  $1707\text{ cm}^{-1}$   $\text{C=O}$  piki ve  $1607\text{ cm}^{-1}$   $\text{C=C}$  piki yapıyı desteklemektedir.



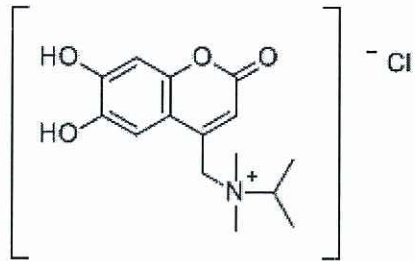
*N*-4-klorometil-7,8-dihidroksi kumarinil,*N*-benzil, *N,N*-dimetil amonyum klorür ( T3 )

*N*-4-klorometil-7-hidroksi kumarinil, *N*-izopropil, *N,N*-dimetil amonyum klorür ( T4 ) bileşinin  $^1\text{H}$ -NMR spektrumu ( Şekil 3.20 ) incelendiğinde 7.94-6.79 ppm aralığında 3 tane aromatik proton gözlenmektedir. 6.64 ppm'de kumarin-3 konumunda bulunan olefinik proton gözlenmektedir. 4.64 ppm' de singlet metilen protonları gözlenmektedir. 4.12-4.04 ppm'de heptet şeklinde (  $J=6\text{Hz}$  ) izoproil grubunun 2 numaralı karbon atomuna bağlı olan tek proton görülmektedir. Yine 2.96 ppm' de azot atomuna bağlı  $-\text{CH}_3$  protonları singlet halde görülmüştür. 1,47-1,449 ppm' de (  $J=6\text{Hz}$  ) izopropil grubunun 1 ve 3 numaralı karbonlarına bağlı bulunan  $-\text{CH}_3$  protonları dublet şeklinde görülmektedir. Ürünün  $^{13}\text{C}$ -NMR spektrumu ( Şekil 3.21 ) incelendiğinde molekülde olması gereken gibi 13 farklı karbon atomu gözlenmiştir. 68.5 ppm'de izopropil grubunun 2 numaralı karbon atomu, 58.2 ppm'de metilen karbonu, 47.6 ppm'de azot atomuna bağlı  $-\text{CH}_3$  karbonu, 16.9 ppm'de izopropil grubunun 1 ve 3 numaralı karbonları gözlenmektedir. Yine ürünün FT-IR spektrumu ( Şekil 3.19 ) incelendiğinde gözlenen  $3346\text{ cm}^{-1}$   $-\text{OH}$  piki,  $3027\text{ cm}^{-1}$  aromatik C-H,  $2980\text{ cm}^{-1}$  alifatik C-H,  $1705\text{ cm}^{-1}$   $\text{C=O}$ ,  $1605\text{ cm}^{-1}$   $\text{C=C}$  pikleri ürünün yapısını desteklemektedir.



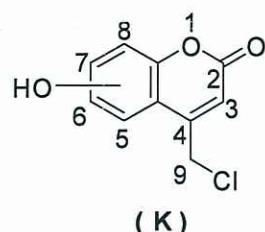
*N*-4-klorometil-7-hidroksi kumarinil, *N*-izopropil, *N,N*-dimetil amonyum klorür ( T4 )

*N*-4-klorometil-6,7-dihidroksi kumarinil, *N*- izopropil, *N,N*-dimetil amonyum klorür ( T5 ) bileşiginin  $^1\text{H-NMR}$  ( Şekil 3.23 ) spektrumu incelendiğinde 10.63 ve 9.68 ppm değerlerinde yayvan –OH protonu pikleri görülmektedir. 7.49 ve 6.88 ppm değerlerinde kumarin-5,8 konumlarında bulunan protonlar singlet olarak görülmektedir. 6.62 ppm'de olefinik proton yine singlet halde görülmektedir. 4,54 ppm'de metilen protonları singlet halde görülmektedir. 4.01-3.98 ppm'de ( $J= 6\text{Hz}$ ) izopropil grubunun 2 numaralı karbon atomuna bağlı olan tek proton heptet olarak görülmektedir. 2,98 ppm' de azot atomuna bağlı  $-\text{CH}_3$  protonları singlet olarak, 1,49-1.47 ppm'de ( $J=6\text{Hz}$ ) izopropil grubunun 1 ve 3 numaralı karbon atomlarına bağlı  $-\text{CH}_3$  protonları dublet olarak görülmektedir. Ürünün  $^{13}\text{C-NMR}$  spektrumu ( Şekil 3.24 ) incelendiğinde 68.9 ppm' de izopropil grubunun 2 numaralı karbon atomu, 57.8 ppm'de metilen karbonu, 48.1 ppm'de N atomuna bağlı  $-\text{CH}_3$  gruplarına ait karbon atomları ve 16.9 ppm'de izopropil grubunun 1 ve 3 numaralı karbon atomları görülmektedir. Yine ürünün FT-IR spektrumu ( Şekil 3.22 ) incelendiğinde gözlenen  $3335\text{ cm}^{-1}$  –OH ,  $3043\text{ cm}^{-1}$  aromatik C-H,  $2913\text{ cm}^{-1}$  alifatik C-H,  $1717\text{ cm}^{-1}$  C=O,  $1614\text{ cm}^{-1}$  C=C pikleri yapıyı desteklemektedir.



*N*-4-klorometil-6,7-dihidroksi kumarinil, *N*-izopropil, *N,N*-dimetil amonyum klorür (T5)

Şekil 4.1’ de hidroksikumarin bileşiklerinin genel yapıları görülmektedir. Tablo 4.1’ de ise hidroksikumarin bileşiklerine ait karakterize edici bazı spektroskopik veriler görülmektedir.

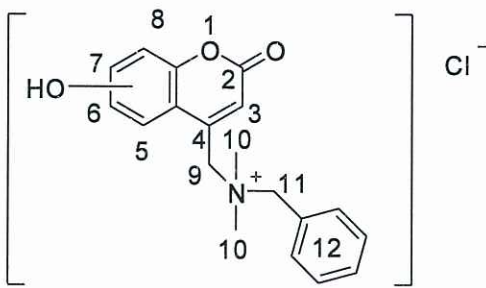


Şekil 4.1 Hidroksikumarin bileşiklerinin genel gösterimi

Tablo 4.1 Hidroksikumarin bileşiklerine ait spektroskopik veriler

	$^1\text{H-NMR}$ ( ppm )		$^{13}\text{C-NMR}$ ( ppm )		FT-IR ( $\text{cm}^{-1}$ )		
	3	9	2	9	C=O	C=C	Ar-OH
<b>K1</b>	6.40, s, 1H	4.91,s, 2H	151.2	42.9	1656	1617	3285
<b>K2</b>	6.42 ,s, 1H	4.93,s, 2H	160.5	41.9	1692	1611	3434
<b>K3</b>	6.42 ,s, 1H	4.95 s,2H	161.9	41.8	1681	1603	3206

Şekil 4.2’ de T1, T2 ve T3 bileşiklerinin genel yapıları görülmektedir. Tablo 4.2’ de ise bu bileşiklere ait karakterize edici bazı spektroskopik veriler görülmektedir.



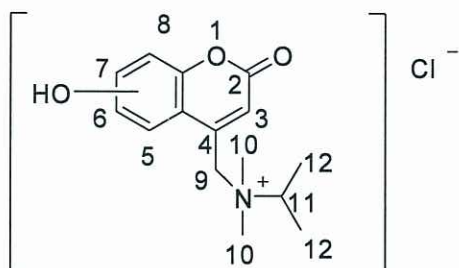
( T1, T2, T3 )

**Şekil 4.2** T1, T2 ve T3 bileşiklerinin genel yapıları

**Tablo 4.2** T1, T2 ve T3 bileşiklerine ait spektroskopik veriler

	<sup>1</sup> H-NMR ( ppm )			<sup>13</sup> C-NMR ( ppm )		
	9	10	11	9	10	11
<b>T1</b>	4.86, s, 2H	3.03, s, 6H	4.81, s, 2H	61.76	4954	67.83
<b>T2</b>	4.76, s, 2H	3.01, s, 6H	4.76, s, 2H	68.05	62.04	49.63
<b>T3</b>	4.8, , 2H	3.0, s, 6H	4.76, s, 2H	68.0	61.98	49.61

Şekil 4.3 ‘ de T4 ve T5 bileşiklerinin genel yapıları görülmektedir. Tablo 4.3’de T4 ve T5 bileşiklerine ait karakterize edici bazı spektroskopik veriler görülmektedir.



( T4 , T5 )

**Şekil 4.3** T4 ve T5 bileşiklerinin genel yapıları

**Tablo 4.3** T4 ve T5 bileşiklerine ait spektroskopik veriler

	<sup>1</sup> H-NMR ( ppm )				<sup>13</sup> C-NMR ( ppm )			
	9	10	11	12	9	10	11	12
<b>T4</b>	6.64, s, 2H	2.96, s, 6H	4.12-4.036 heptet, 1H	1.47,d,6H	68.5	58.2	47.6	16.9
<b>T5</b>	4.54, s, 2H	2.98, s, 6H	4.01-3.98, heptet, 1H	1.49,d, 6H	68.86	57.77	48.1	16.9

Sentezlenen bileşiklerin antimikrobiyal aktiviteleri incelendiğinde ( Tablo 3.1 ) tüm kumarinler ve kumarin kuaterner amonyum tuzlarının *candida albicans* ve *candida tropicalis* mantar türlerinin üremesini engellediği görülmektedir. Ancak bunu bakteriler için söyleyemeyiz. Çalışılan bakteri türlerinden sadece *Pseudomonas aeruginosa* türüne karşı tüm bileşiklerin etkisi olduğu görülmektedir. Bakteri ve mantarlar için karşılaştırma amaçlı kullanılan Ampicillin, Ciprofloxacin, Fluconazole ile minimal inhibisyon konsantrasyonları ( MIK )laştırıldığı zaman kumarin veya kumarin kuaterner amonyum tuzlarında bu değer en az 400 µg/mL' ye kadar inebilmiş ve karşılaştırma amaçlı kullanılan bileşiklerin oldukça altında kalmıştır.

## 5. KAYNAKLAR

- [1] Sethna, S.M., Shah, N.M., "The Chemistry of Coumarins", *Chem. Rev.*, **36**, (1945), 1-62
- [2] Trenor, S.R., Shultz, A.R., Love,B.J., Long, T.E., "Coumarin in Polymers: From Light Harvesting to Photo-Cross-Linkable Tissue Scaffolds", *Chem. Rev.*, **104**, (2004), 3059-3077
- [3] Lake, B.G., "Coumarin Metabolism, Toxicity and Carcinogenicity: Relevance for Human Risk Assessment", *Food and Chemical Toxicology*, **37**, (1999), 423-453
- [4] Cohen, A.J., "Critical Review of The Toxicology of Coumarin With Special Reference to Interspecies Diferences in Metabolism and Hepatotoxic Response and Their Significance to Man", *Food and Chemical Toxicology*, **17**, (1979), 277-289
- [5] Coffey, S., Rood's Chemistry of Carbon Compounds, vol IV(E), 2<sup>nd</sup> ed., Elsevier, New York (1977)
- [6] O'Kennedy, R., Thornes, R.D., Coumarin Biology, Application and Made of Action, John Wiley and Sons Ltd. England, (1997), 1-336
- [7] Boğa, M., "Kumarin Türevi Yeni 14:4 Taç Eter Bileşiklerinin Sentezi ve Yapılarının Aydınlatılması", Yüksek Lisans Tezi, Marmara Üniversitesi Fen Bilimleri Enstitüsü, İstanbul, Türkiye, (2005)
- [8] Dellagreca, M., Fiorentino, A., Isidori, M., Previtera, L., Temussi, F., Zaralli, A., "Benzocoumarins from the Rhizomes of Juncus Acutus", *Tetrahedron*, **59**, (2003), 4821-4825
- [9] Harvey, R.G., Cortez, C., Ananthararanyan, T.P., Schnolka, S., "A New Coumarin Synthesis and Its Utilization for The Synthesis of Polycyclic Coumarin Compounds With Anticarcinogenic Properties", *J. Org. Chem.*, **53**, (1988), 3939-3943
- [10] Dodge, F.D., " Some Derivatives of Coumarin", *J.Am.Chem.Soc.*, **38**, (1916), 446
- [11] Perkin, W.H., Chem News, (1875), 258

- [12] Moes, D., Vervisch, S., Debenedetti, S., Davio, S., Mangelinckx, S., Girbellina, N., Kimp, N.D., " Synthesis and Structural Revision of Naturally Occuring Ayapin Derivatives", *Tetrahedron*, **61**, (2005), 2505-2511
- [13] Shilling, W., Longland, R., Crampton, C., "Metabolism of Coumarin in Man", *Nature*, **221**, (1969), 664
- [14] Murray, R.D.H., Mendez, J., Brown, S.A., "The Natural Coumarins", John Wiley and Sons Ltd., New York (1982)
- [15] Gündüz C., "Di- ve Tetrahidroksi-2H-1-Benzopiron Türevi Makrohalkalı Eterlerin Sentezi, Spektroskopik Karakterizasyonu ve Alkali Katyon Bağlama Özellikleri", Doktora Tezi, Marmara Üniversitesi Fen Bilimleri Enstitüsü, İstanbul, Türkiye, (2009)
- [16] Guenther, E., The Essential Oils, Vol II, D.Von Nostrand Ltd., New York, (1975)
- [17] Basaran, I., Sinan, S., Cakir, Ü., Bulut, M., Arslan, O., Ozensoy, O., " In vitro Inhibition of Cytosolic Carbonic Anhydrases I and II bu Some New Dihydroxycoumarin Compounds", *Journal of Enzyme Inhibition and Medicinal Chemistry*, **23**, (2008), 32-36
- [18] Gümüş, A., Karadeniz, Ş., Uğraş., H.I., Bulut, M., Çakır, Ü., Gören, A.C., "Synthesis, Complexation and Biological Activity of 4-Aminomethyl-7,8-Dihydroxy Coumarines and Their Crown Ether Derivatives", *Journal of Heterocyclic Chem.*, **47**, (2010), 1127-1133
- [19] Tropkov, V.A., Parfenov, E.A., Smirnov, L.D., "Synthesis and Antiulcer Activity of Copper and Zinc-Containing Coumarin Antioxidant", *Pharmaceutical Chemistry Journal*, **30-7**, (1996), 445-447
- [20] Zhao, H., Neamati, N., Hong, H., Mazumder, A., Wang, S., Sunder, S., Milne, G.W.A., Pemmier, Y., Burke, T.R., "Coumarin Based Inhibitors of HIV Integrase", *J.Med.Chem.*, **40 (2)**, (1997), 242-249
- [21] Musa, M.A., Copperwood, J.S., Khan, M.D.F., "A Review of Coumarin Derivatives in Pharmacotherapy of Breast Cancer", *Current Medicinal Chemistry*, **15**, (2008), 2664-2670
- [22] Weymarn, L.B., Murphy, S.E., "Coumarin Metabolism by Rat Esophagel Microsomes and Cytochrome P450 2A3", *Chem. Res. Toxicol.*, **14**, (2001), 1386-1392
- [23] O'Kennedy, R., Lacy, A., "Studies on Coumarin and Coumarin-Related Compounds to Determine Their Therapeutic Pole in the Treatment of Cancer", *Current Pharmaceutical Designs*, **10**, (2004), 3797-3811

- [24] Tsuchiya, H., Hayashi, T., Neruse, H., Takagi, N., "High Performance Liquid Chromotography of Carboxylic Acids using 4-Bromomethyl-7-Acetoxycoumarin as Fluorescence Reagent", *Journal of Chromatography*, **234-1**, (1982), 121-130
- [25] Lei, J., Xu, X.M., Xu, J., Chan, L.H., Jiang, P., Chang, F.X., Lu, G.N., Wang, Q., Wu, J.C., Tang, N., "Synthesis, Characterization, Cytotoxic Activities and DNA-Binding Studies of Ternary Copper (II), Complexes with New Coumarin Derivatives" *Chem. Pharm. Bull.*, **58(8)**, (2010), 1003-1008
- [26] Suzuki, Y., Kamatsu, H., Ikeda, T., Saito, N., Araki, S., Citterio, D., Hisomoto, H., Kitamura, Y., Kubuta, T., Nakagawa, J., Oka, K., Suzuki, K., "Design and Synthesis of Mg<sup>+2</sup> Selective Fluoroionophores Based on a Coumarin Derivative and Application for Mg<sup>+2</sup> Measurement in a Living Cell", *Anal. Chem.*, **74**, (2002), 1423-1428
- [27] Mizukami, S., Okada, S., Kimura, Kikuchi, K., "Design and Synthesis of Coumarin-Based Zn<sup>+2</sup> Probes for Ratiometric Fluorescence Imaging", *Inorganic Chemistry*, **48**, (2009), 7630-7638
- [28] IUPAC, Compendium of Chemical Terminology, 2nd ed., (The "Gold Book"), (1997)
- [29] Smith, Micheal, B., Advanced Organic Chemistry: Reactions, Mechanisms and Structure, 5th ed., Wiley-Interscience, (2001)
- [30] Jia, Z., Shen, D., Xu, W., "Synthesis and Antibacterial Activities of Quaternary Ammonium Salt of Chitosan", *Carbohydrate Research*, **333**, (2001), 1-6
- [31] Başaran, İ., "Yeni Coumarin Crown Eterlerin Sentezi ve Kompleksleşme Sabitlerinin Saptanması", Doktora Tezi, Balıkesir Üniversitesi Fen Bilimleri Enstitüsü, Balıkesir, (2007)
- [32] National Clinical and Laboratuary Standarts İnstitüe. Methods for Dilution Antimicrobial Susceptibility Tests for Bacteria That Grow Aerobically: Approved Standart, 7th ed., CLSI Document M7-A7 : National Clinical and Laboratuary Standarts Institüe, Wayne PA, USA, (2003)
- [33] Clinical Laboratuary Standarts Institüe, Reference Method for Broth Dilution Antifungal Susceptibility Testing of Yeasts, Approved Standart, 2nd ed., MCCLS Document M27-A2, National Clinical and Laboratuary Standards Institut, Wayne, PA, USA, (2002)
- [34] Temelli, N., "Gümüş ve Altın N-Heterosiklik Karben Komplekslerinin Sentezi ve Özellikleri", Yüksek Lisans Tezi, İnönü Üniversitesi Fen Bilimleri Enstitüsü, Malatya, (2010)